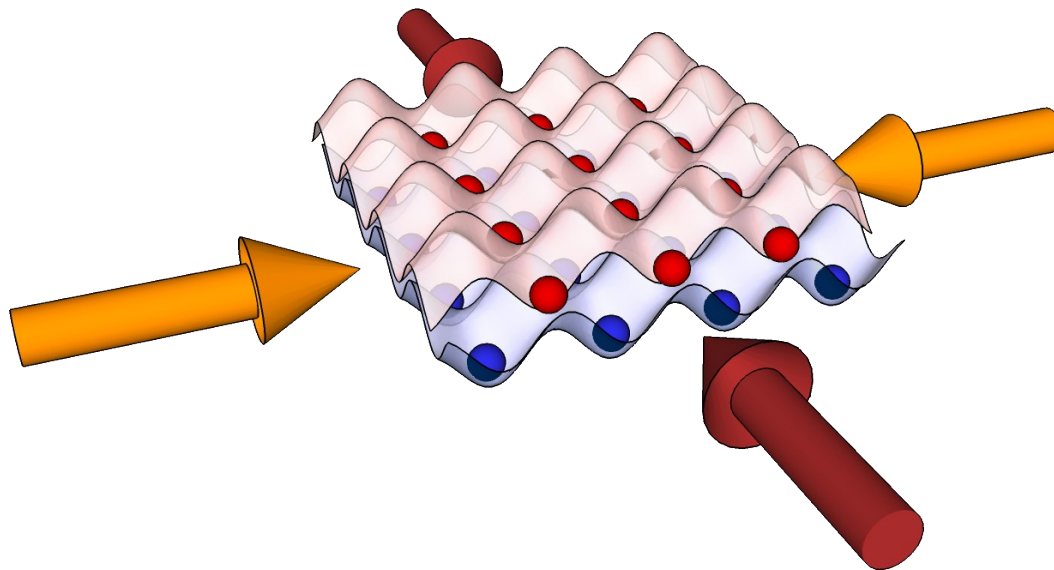

On the road to artificial gauge fields : Ytterbium cooling



Séminaire du groupe atomes froids

Introduction

Our theoretical proposal



► Aharanov-Bohm effect :

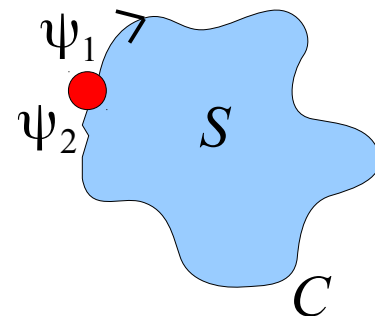
Orbital magnetism for
a charged particle

$$H = \frac{(\mathbf{P} - q\mathbf{A})^2}{2M}$$

$$\mathbf{B} \neq 0 \Rightarrow \nabla \times \mathbf{A} \neq 0$$



Non-zero phase on
a closed loop



$$\psi_2 = e^{i\alpha} \psi_1$$

$$\text{Topological Berry phase : } \alpha = \frac{q}{\hbar} \oint_C \mathbf{A} dl = \frac{q}{\hbar} \iint_S \mathbf{B} ds$$

Séminaire du groupe atomes froids

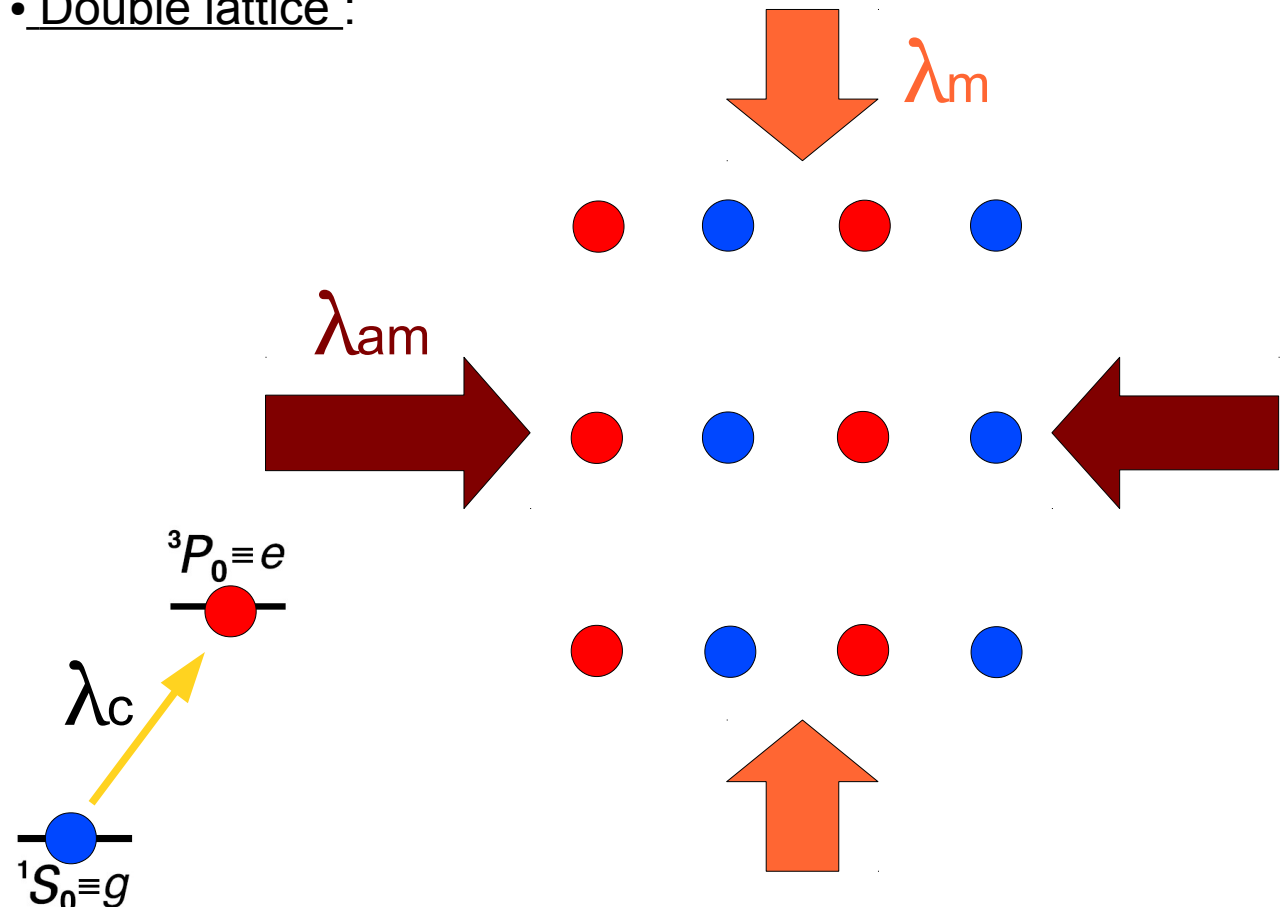
Introduction

Our theoretical proposal



► Artificial gauge fields simulation :

- Double lattice :



F. Gerbier, J. Dalibard, New J. Phys. 12, 033007 (2010)

- Special wavelengths :

λ_m = “magic”

Same polarizability
for e and g

λ_m = “anti -magic”

Opposite polarizability
for e and g

Séminaire du groupe atomes froids

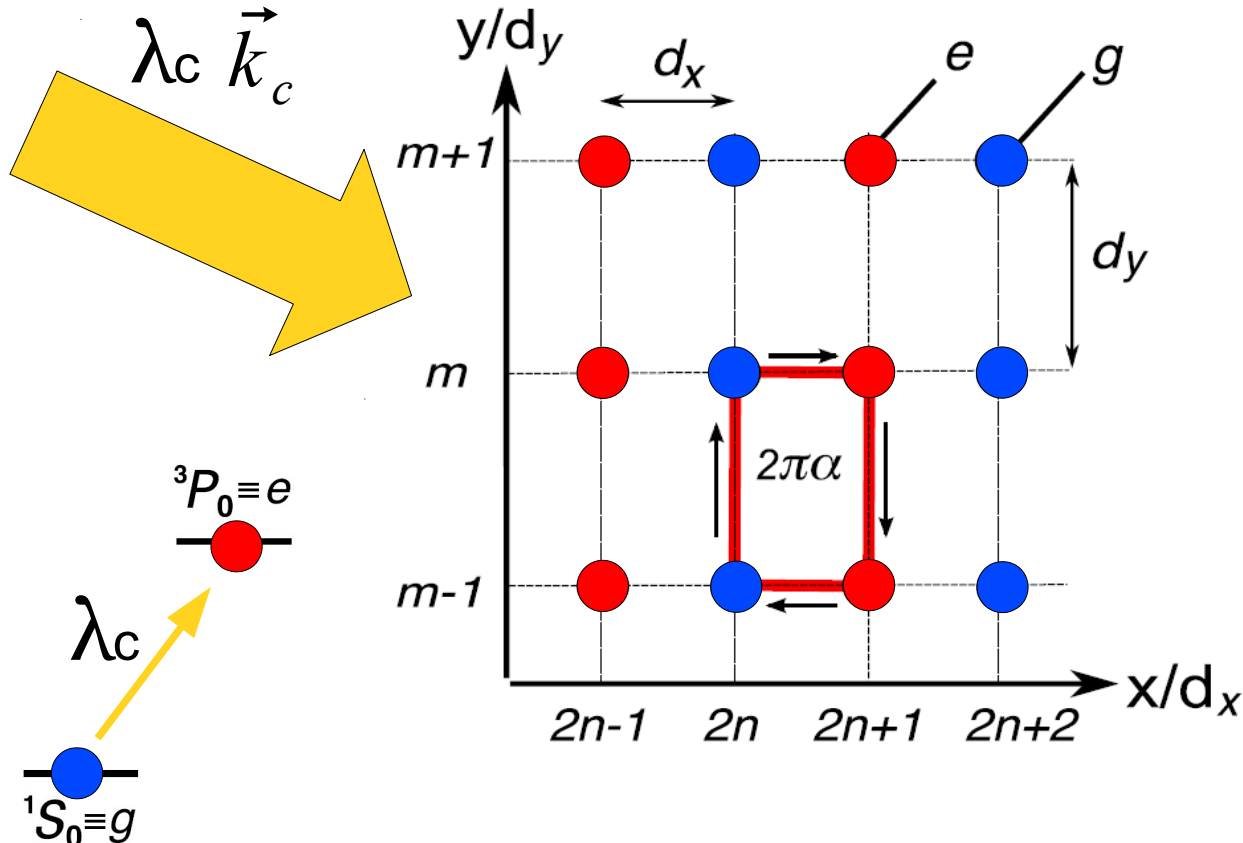
Introduction

Our theoretical proposal



► Artificial gauge fields simulation :

- Working diagram :

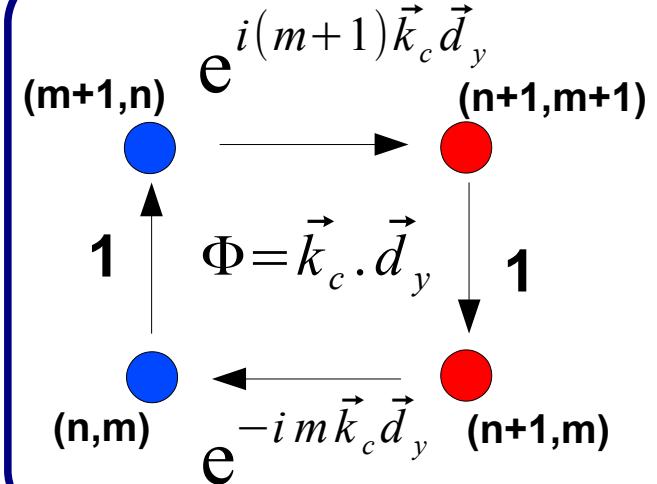


F. Gerbier, J. Dalibard, New J. Phys. 12, 033007 (2010)

- X jumping induced by light :

$$|g\rangle \xrightarrow{\pi-pulse} -e^{i\Phi_m}|e\rangle$$

$$\Phi_m = m \vec{k}_c \cdot \vec{d}_y$$



Allows to simulate artificial magnetic fields using neutral particles.

NB : max flux $\Phi_{max} = k_c d_y = 2\pi(\lambda_m / 2\lambda_c) \longrightarrow \alpha_{max} = (\lambda_m / 2\lambda_c) \approx 0,66$

Séminaire du groupe atomes froids

Introduction

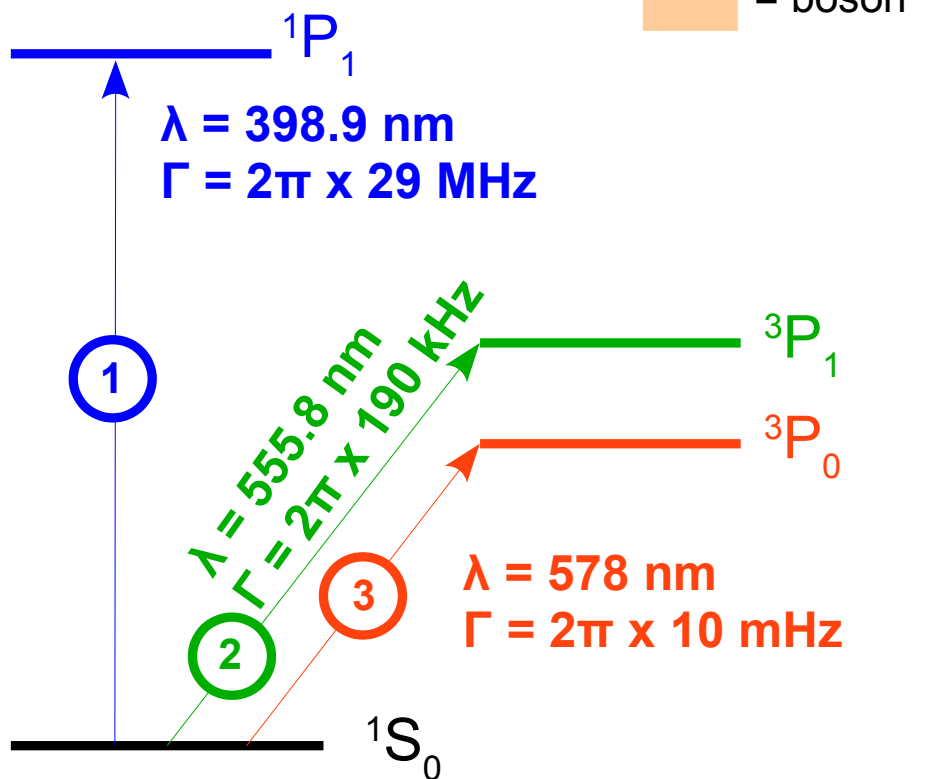
Why Ytterbium ?



► Ytterbium : lanthanide ($Z=70$)

Isotope (N)	168	170	171	172	173	174	176
Abundance (%)	0,1	3	14	22	16	32	13
Nuclear spin	0	0	1/2	0	5/2	0	0

► Ytterbium atomic levels :



Yb MOT : T. Kuwamoto et al, PRA (1999), Yb BEC : Y. Takasu et al, PRL (2003)

1 **« Blue » transition : 399 nm**

- Large $\Gamma \rightarrow$ efficient slowing
- $T_D = 690 \mu\text{K}$

► Zeeman ? MOT ?

2 **« Green » transition : 556 nm**

- Small $\Gamma \rightarrow$ low Doppler temp.
- $T_D = 4.4 \mu\text{K}$

► Zeeman ? MOT ?

3 **« Clock » transition : 578 nm**

- Metastable excited state
- lifetime $\sim 16 \text{ s}$

► Coupling laser

Séminaire du groupe atomes froids

Introduction

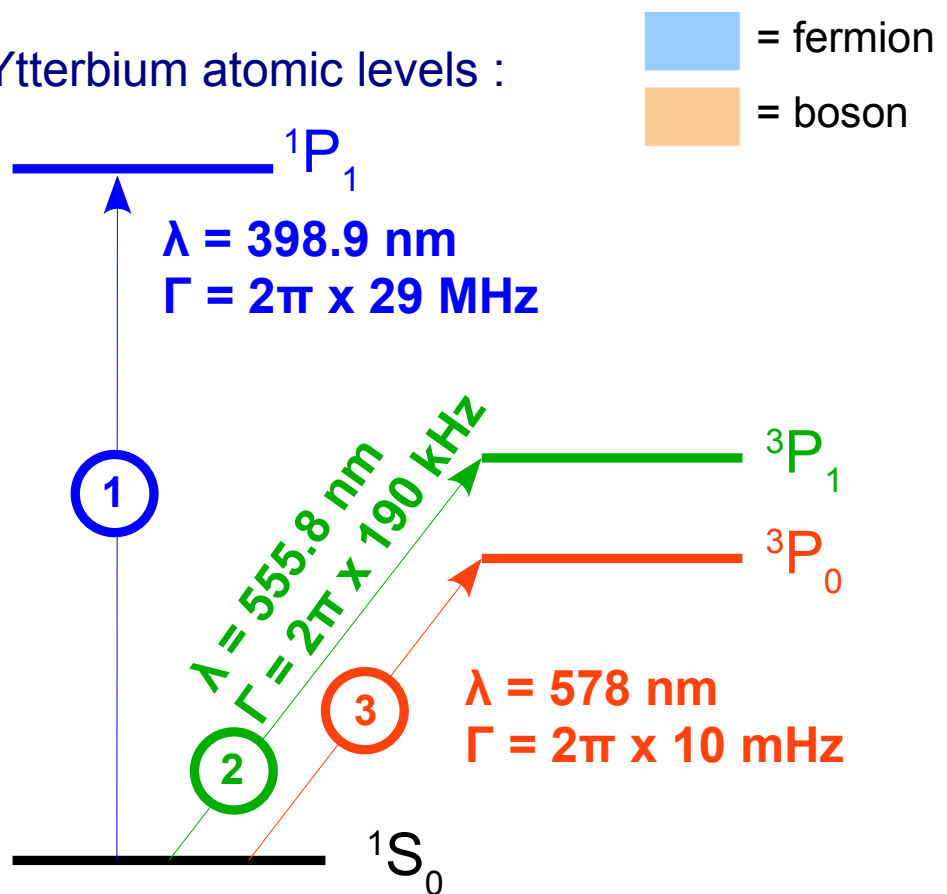
Why Ytterbium ?



► Ytterbium : lanthanide ($Z=70$)

Isotope (N)	168	170	171	172	173	174	176
Abundance (%)	0,1	3	14	22	16	32	13
Nuclear spin	0	0	1/2	0	5/2	0	0

► Ytterbium atomic levels :



Yb MOT : T. Kuwamoto et al, PRA (1999), Yb BEC : Y. Takasu et al, PRL (2003)

1 « Blue » transition : 399 nm

- Large $\Gamma \rightarrow$ efficient slowing
- $T_D = 690 \mu\text{K}$

► Zeeman ? MOT ?

2 « Green » transition : 556 nm

- Small $\Gamma \rightarrow$ low Doppler temp.
- $T_D = 4.4 \mu\text{K}$

► Zeeman ? MOT ?

3 « Clock » transition : 578 nm

- Metastable excited state
- lifetime $\sim 16 \text{ s}$

► Coupling laser

Séminaire du groupe atomes froids

Introduction

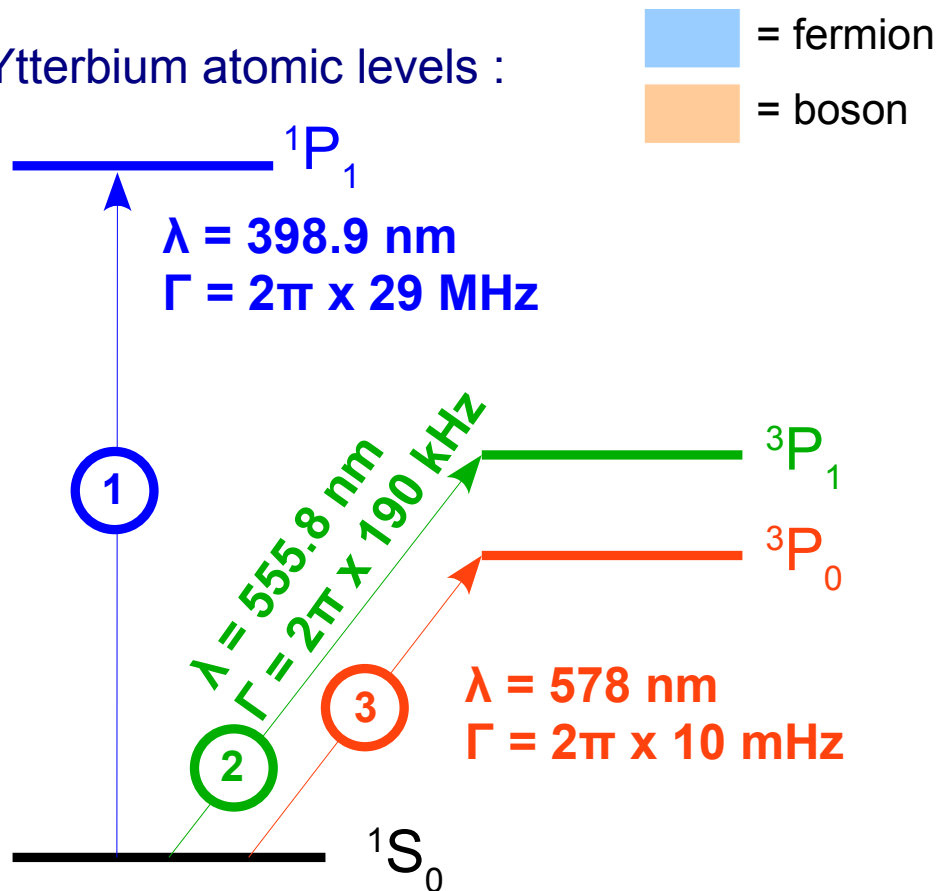
Why Ytterbium ?



► Ytterbium : lanthanide ($Z=70$)

Isotope (N)	168	170	171	172	173	174	176
Abundance (%)	0,1	3	14	22	16	32	13
Nuclear spin	0	0	1/2	0	5/2	0	0

► Ytterbium atomic levels :



Yb MOT : T. Kuwamoto et al, PRA (1999), Yb BEC : Y. Takasu et al, PRL (2003)

1 « Blue » transition : 399 nm

- Large $\Gamma \rightarrow$ efficient slowing
- $T_D = 690 \mu\text{K}$

► Zeeman ? MOT ?

2 « Green » transition : 556 nm

- Small $\Gamma \rightarrow$ low Doppler temp.
- $T_D = 4.4 \mu\text{K}$

► Zeeman ? MOT ?

3 « Clock » transition : 578 nm

- Metastable excited state
- lifetime $\sim 16 \text{ s}$

► Coupling laser

Séminaire du groupe atomes froids

Introduction

Which wavelengths ?



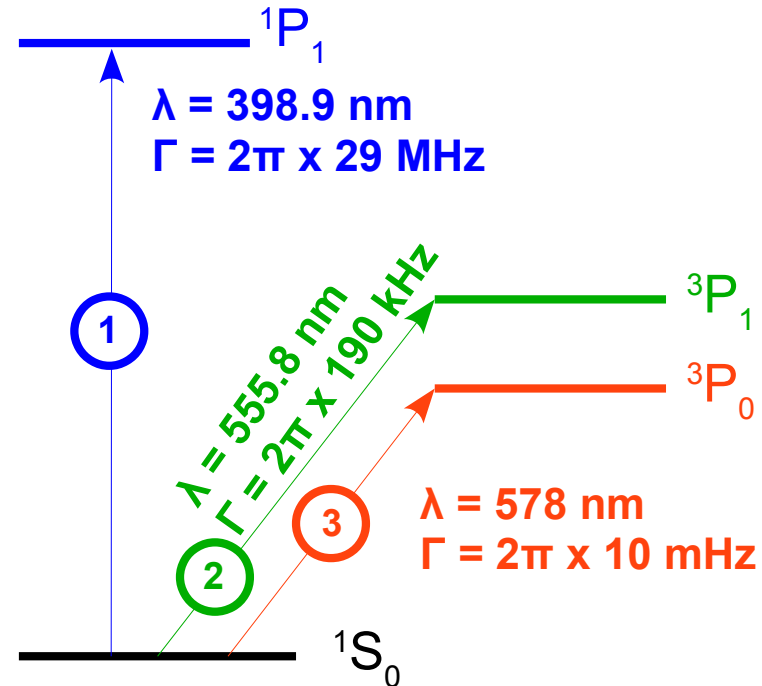
► Zeeman slower :

$$F_{rad} \propto \Gamma \longrightarrow \text{We take largest } \Gamma \longrightarrow \textcircled{1}$$

► Magneto Optical Trap (MOT) :

Capture velocity $v_{capt} \propto \Gamma^{1/2}$

Doppler limit $T_D \propto \Gamma$



Séminaire du groupe atomes froids

Introduction

Which wavelengths ?



► Zeeman slower :

$$F_{rad} \propto \Gamma \longrightarrow \text{We take largest } \Gamma \longrightarrow \textcircled{1}$$

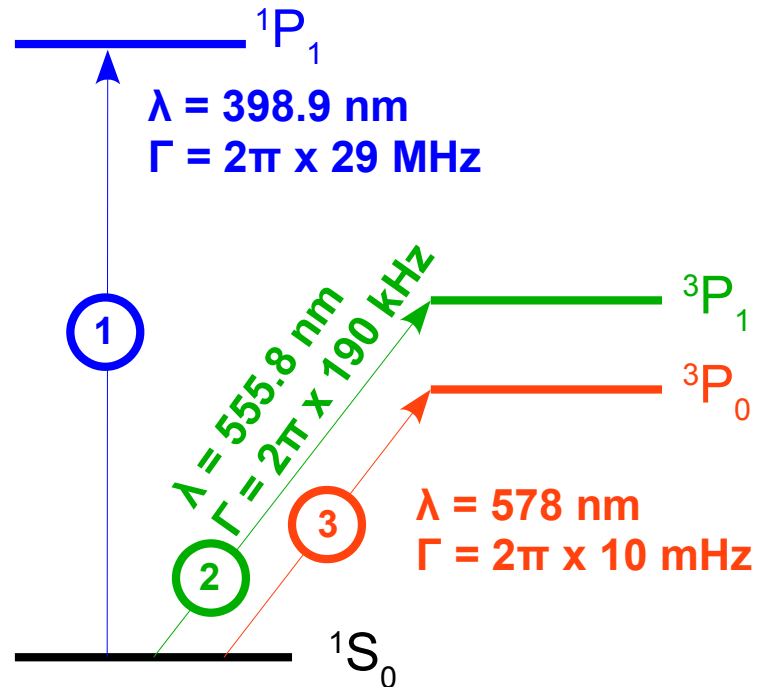
► Magneto Optical Trap (MOT) :

Capture velocity $v_{capt} \propto \Gamma^{1/2}$

Doppler limit $T_D \propto \Gamma$

① « Blue » transition : 399 nm

- Large $\Gamma \rightarrow$ high capture velocity (~ 40 m/s)
- $T_D = 690 \mu\text{K}$ (no sub-Doppler for bosons)
- Decay from $^1\text{P}_1$ to metastable $^3\text{P}_0$ & $^3\text{P}_2$
- $I_{sat} = 60 \text{ mW.cm}^{-2}$: hard to achieve high intensity @ 399nm



Séminaire du groupe atomes froids

Introduction

Which wavelengths ?



► Zeeman slower :

$$F_{rad} \propto \Gamma \longrightarrow \text{We take largest } \Gamma \longrightarrow \textcircled{1}$$

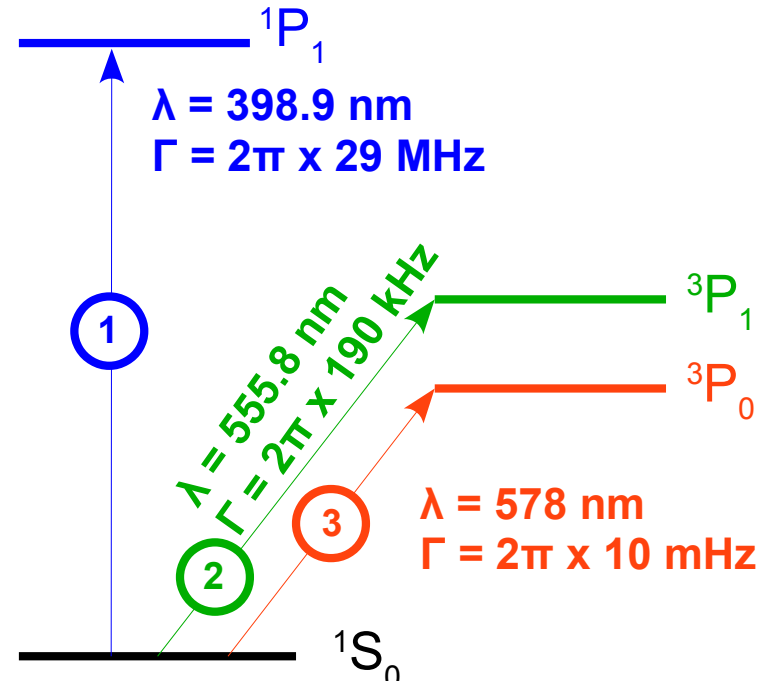
► Magneto Optical Trap (MOT) :

Capture velocity $v_{capt} \propto \Gamma^{1/2}$

Doppler limit $T_D \propto \Gamma$

① « Blue » transition : 399 nm

- Large $\Gamma \rightarrow$ high capture velocity (~ 40 m/s)
- $T_D = 690 \mu\text{K}$ (no sub-Doppler for bosons)
- Decay from $^1\text{P}_1$ to metastable $^3\text{P}_0$ & $^3\text{P}_2$
- $I_{sat} = 60 \text{ mW.cm}^{-2}$: hard to achieve high intensity @ 399nm



② « Green » transition : 556 nm

- small $\Gamma \rightarrow$ low capture velocity (~ 8 m/s)
- $T_D = 4.4 \mu\text{K}$
- Closed transition
- $I_{sat} = 0.14 \text{ mW.cm}^{-2}$

Séminaire du groupe atomes froids

Introduction

Which wavelengths ?

► Zeeman slower :

$$F_{rad} \propto \Gamma \longrightarrow \text{We take largest } \Gamma \longrightarrow \textcircled{1}$$

► Magneto Optical Trap (MOT) :

Capture velocity $v_{capt} \propto \Gamma^{1/2}$

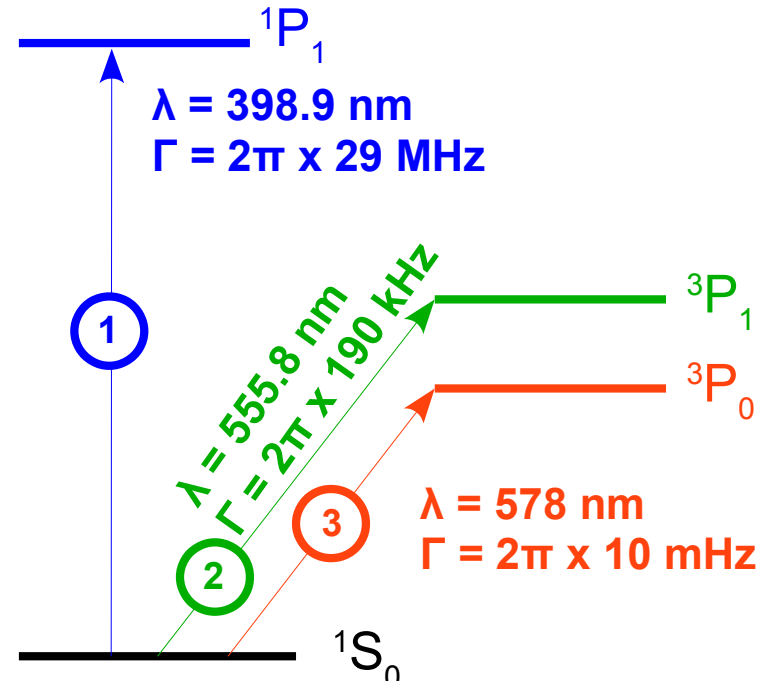
Doppler limit $T_D \propto \Gamma$

(1) « Blue » transition : 399 nm

- Large $\Gamma \rightarrow$ high capture velocity (~ 40 m/s)
- $T_D = 690 \mu\text{K}$ (no sub-Doppler for bosons)
- Decay from $^1\text{P}_1$ to metastable $^3\text{P}_0$ & $^3\text{P}_2$
- $I_{sat} = 60 \text{ mW.cm}^{-2}$: hard to achieve high intensity @ 399nm

(2) « Green » transition : 556 nm

- small $\Gamma \rightarrow$ low capture velocity (~ 8 m/s)
- $T_D = 4.4 \mu\text{K}$
- Closed transition
- $I_{sat} = 0.14 \text{ mW.cm}^{-2}$



MOT

Séminaire du groupe atomes froids

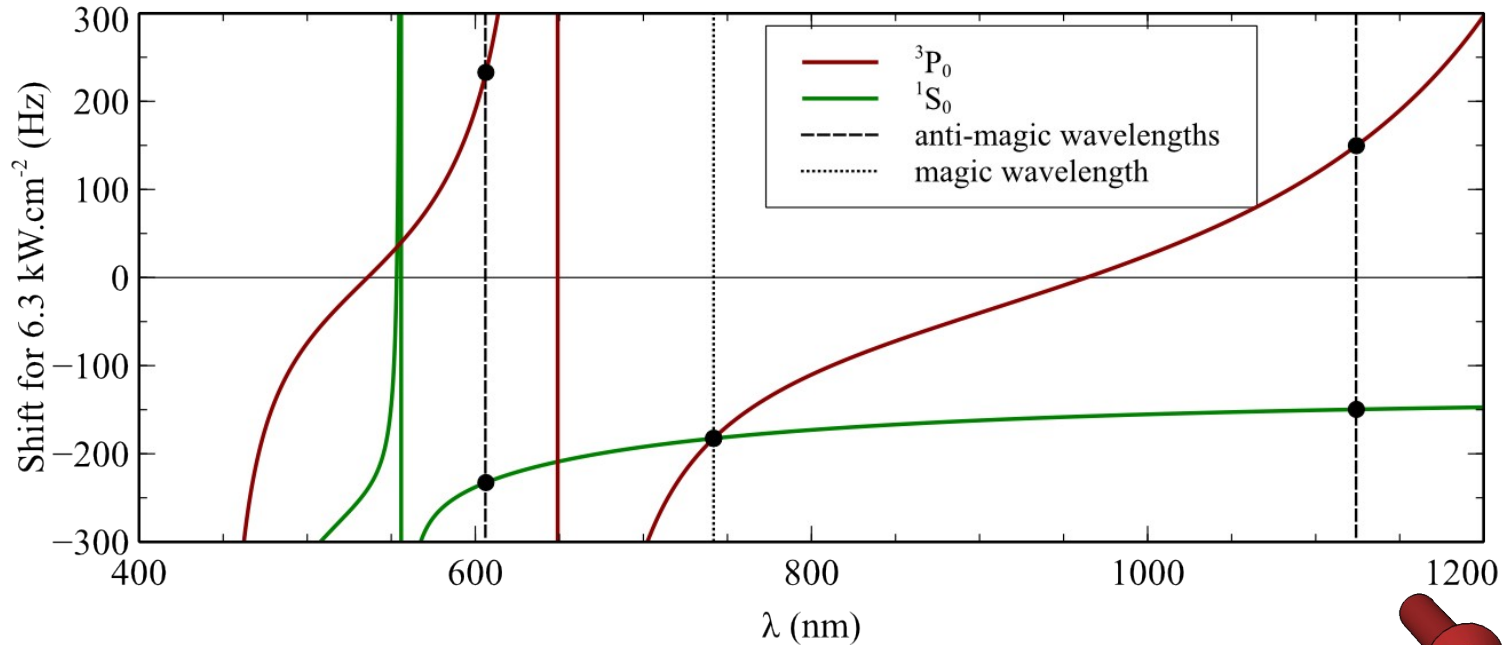
Introduction

Why Ytterbium ?

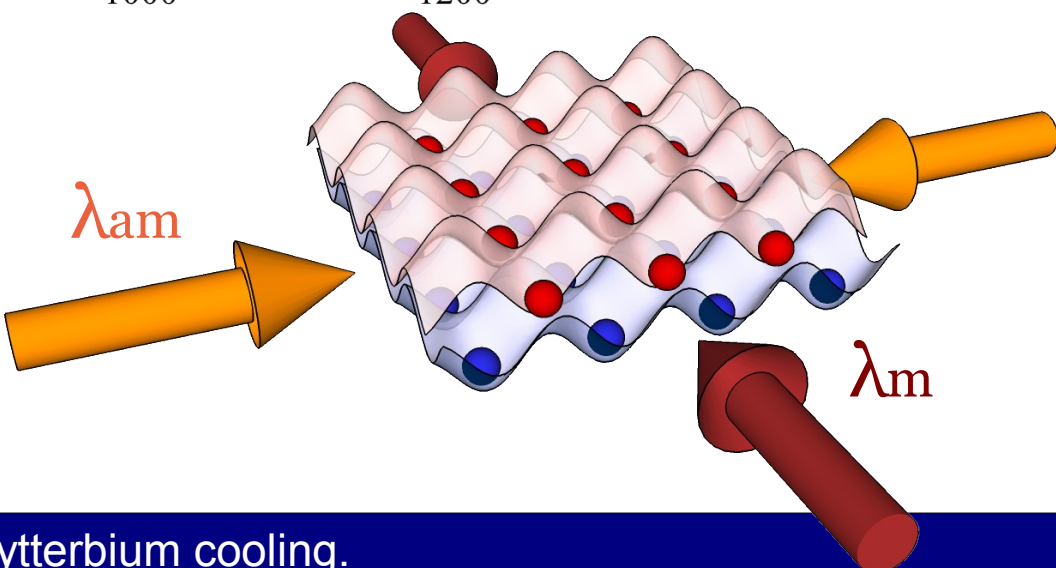


► Magic and anti-magic wavelengths :

Light shift for 3P_0 and 1S_0 as a function of wavelength for a 6.3kW.cm^{-2} laser intensity



- “Magic” wavelength (λ_m) $\approx 760 \text{ nm}$
- “Anti-magic” wavelengths (λ_{am}) $\approx 620 \text{ nm}$ or 1120 nm



Séminaire du groupe atomes froids

Outline

On the road to artificial gauge field

Institut Francilien de



IFRAF

Laboratoire Kastler Brossel
Physique quantique et applications

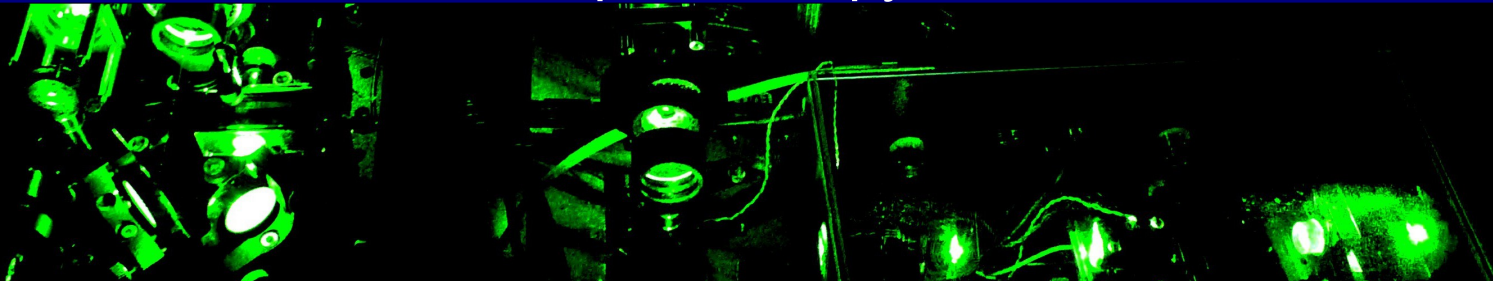


Outline of the talk :

► Part 1 : Our experimental setup



► Part 2 : Lasers & Ytterbium spectroscopy



► Part 3 : First steps toward ytterbium cooling



Séminaire du groupe atomes froids

Outline

On the road to artificial gauge field

Outline of the talk :

- ▶ Part 1 : Our experimental setup



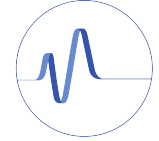
- ▶ Part 2 : Lasers & Ytterbium spectroscopy



- ▶ Part 3 : First steps toward ytterbium cooling



Séminaire du groupe atomes froids



Part 1

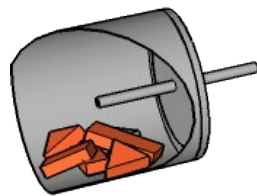
Our experimental setup

► Experimental scheme – step 1 : Zeeman slower and MOT

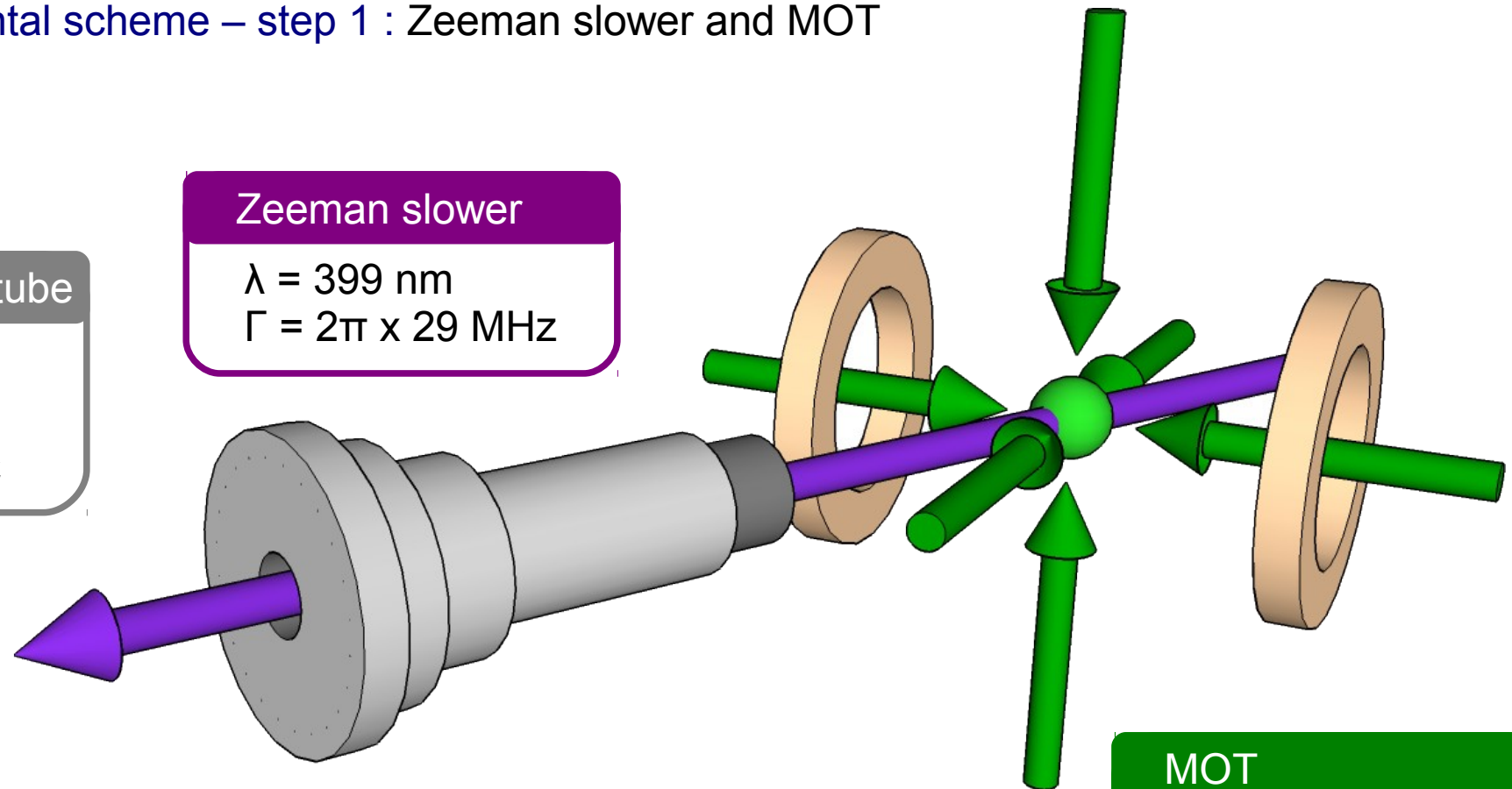
Collimation tube
 $L = 10 \text{ cm}$
 $\emptyset = 2 \text{ mm}$
 $T = 400 \text{ }^\circ\text{C}$

Zeeman slower

$$\lambda = 399 \text{ nm}$$
$$\Gamma = 2\pi \times 29 \text{ MHz}$$



Oven
 $T = 350 \text{ }^\circ\text{C}$



MOT

$$\lambda = 556 \text{ nm}$$
$$\Gamma = 2\pi \times 190 \text{ kHz}$$
$$T_D = 4.4 \mu\text{K}$$

Séminaire du groupe atomes froids



Part 1

Our experimental setup

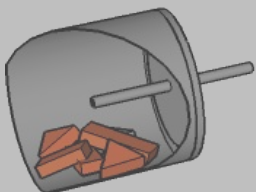
► Experimental scheme – step 1 : Zeeman slower and MOT

Collimation tub

$L = 10 \text{ cm}$

$\emptyset = 2 \text{ mm}$

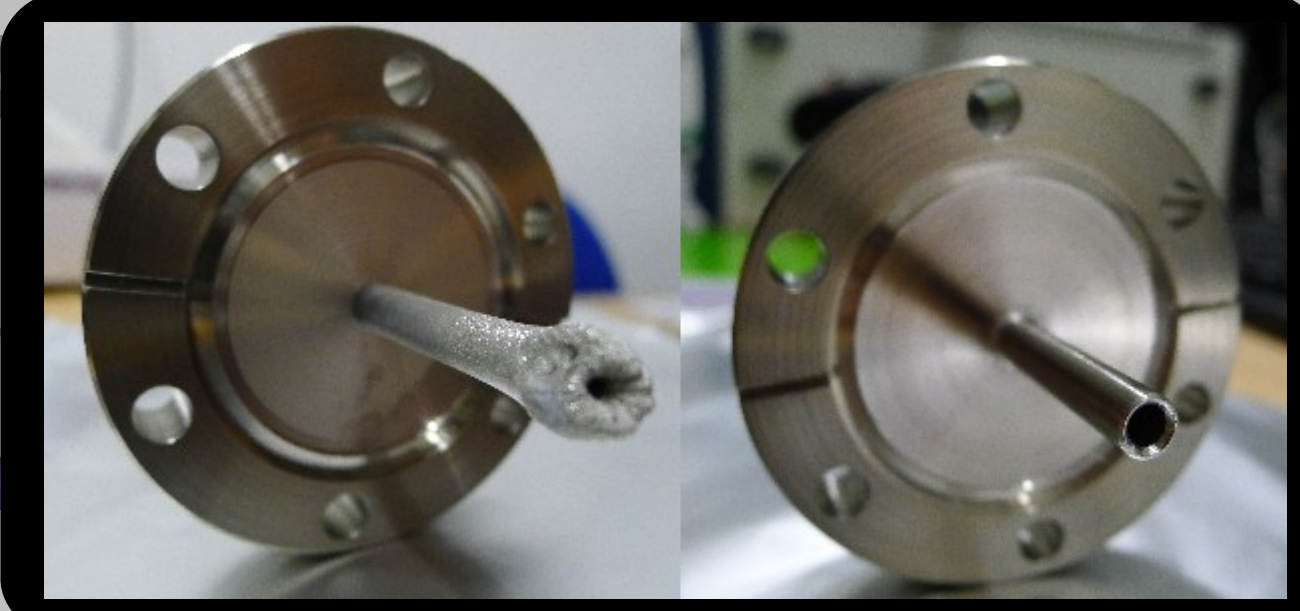
$T = 400 \text{ }^\circ\text{C}$



Oven

$T = 350 \text{ }^\circ\text{C}$

Zeeman slower

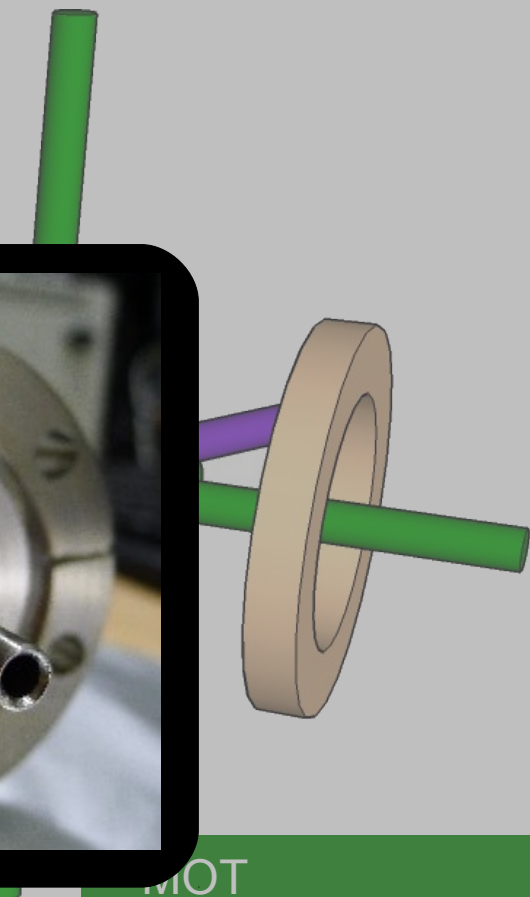


MOT

$\lambda = 556 \text{ nm}$

$\Gamma = 2\pi \times 190 \text{ kHz}$

$T_D = 4.4 \mu\text{K}$



Séminaire du groupe atomes froids



Part 1

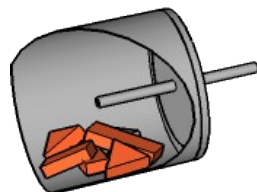
Our experimental setup

► Experimental scheme – step 1 : Zeeman slower and MOT

Collimation tube
 $L = 10 \text{ cm}$
 $\emptyset = 2 \text{ mm}$
 $T = 400 \text{ }^\circ\text{C}$

Zeeman slower

$$\lambda = 399 \text{ nm}$$
$$\Gamma = 2\pi \times 29 \text{ MHz}$$



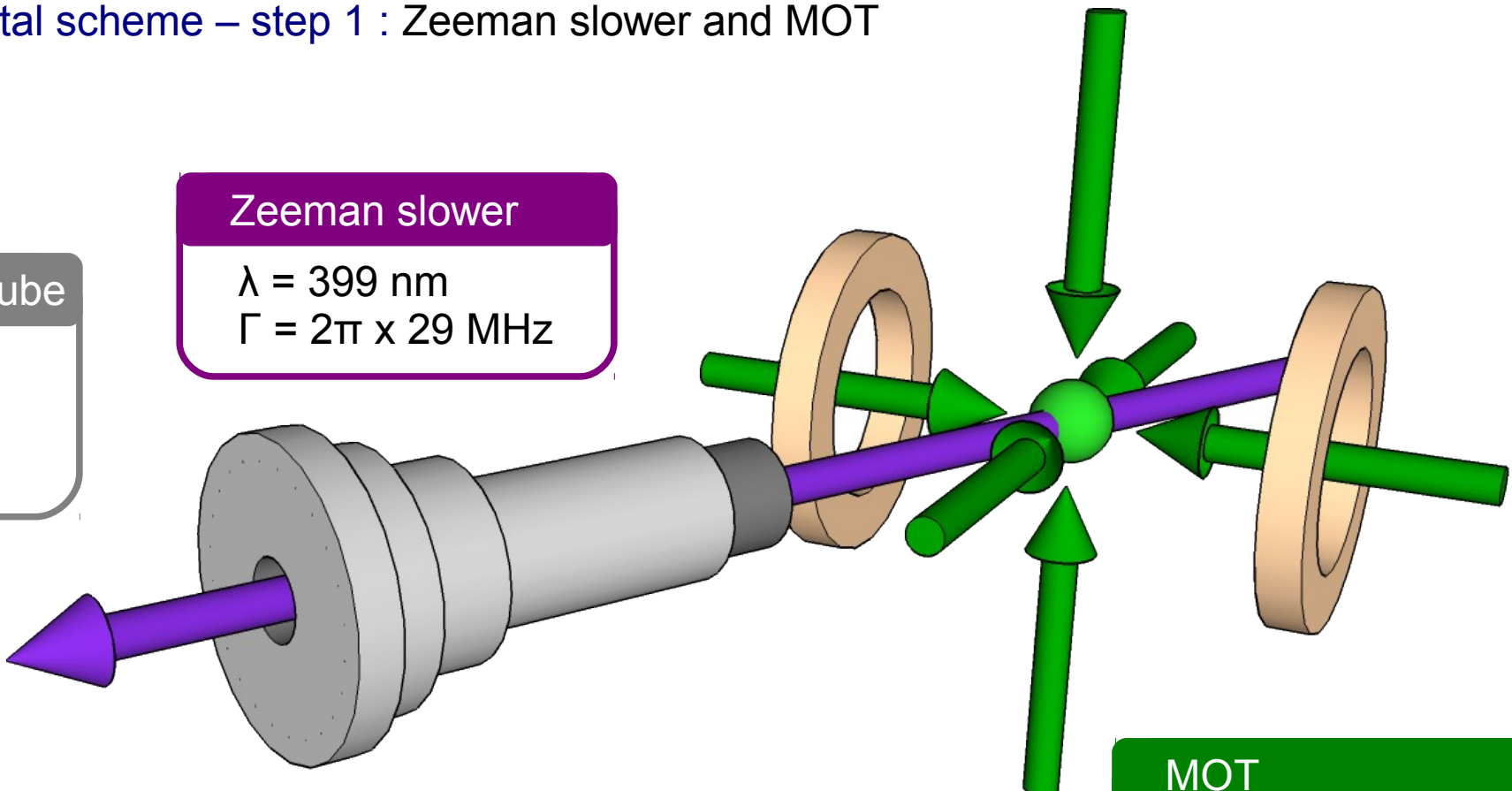
Oven

$$T = 350 \text{ }^\circ\text{C}$$

On the road to artificial gauge fields : ytterbium cooling.

MOT

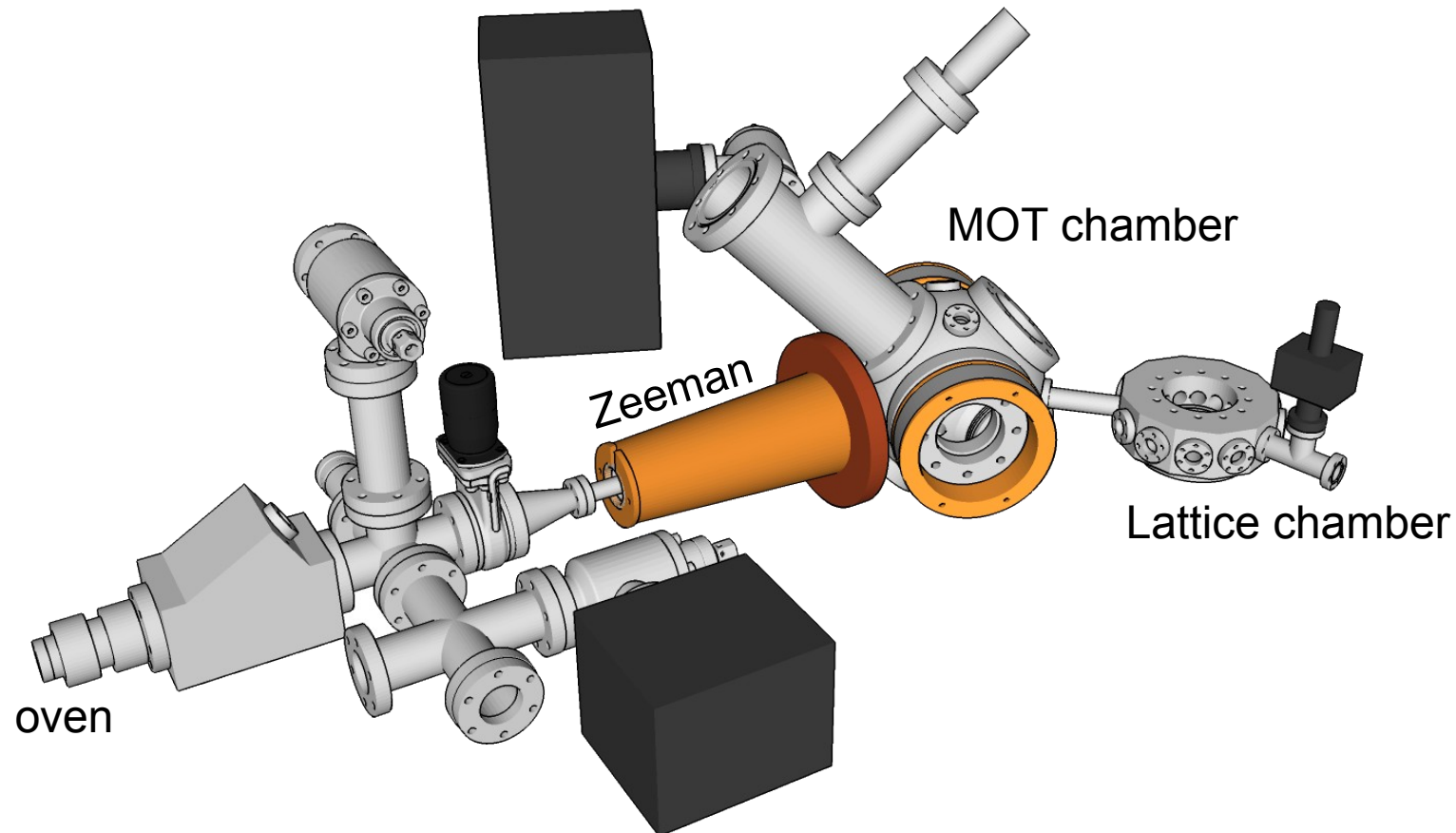
$$\lambda = 556 \text{ nm}$$
$$\Gamma = 2\pi \times 190 \text{ kHz}$$
$$T_D = 4.4 \mu\text{K}$$



Séminaire du groupe atomes froids

Part 1

Our experimental setup



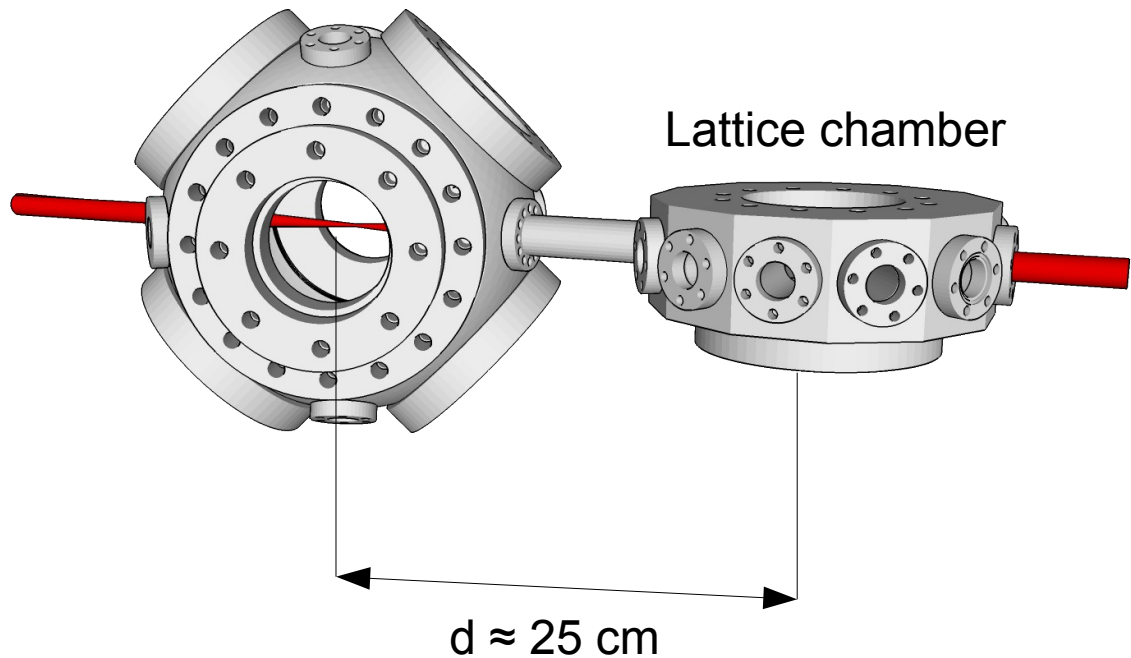
Séminaire du groupe atomes froids

Part 1

Our experimental setup

► Experimental scheme – step 2 : Dipole trap and optical transport

MOT Chamber



Dipole trap

$\lambda = 1070 \text{ nm}$
 $P = 50 \text{ W}$
waist = $80 \mu\text{m}$

NB: in Kyoto, $T_{\text{MOT}} \sim 30 \mu\text{K}$

trap depth
 $\sim 300 \mu\text{K}$

Transport

Optical transport to the lattice chamber by translating the dipole trap waist.

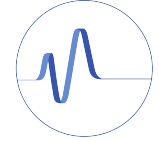
Lattice chamber

Better vacuum
Good optical access (vert. imaging)
12 sideports for lattices designing

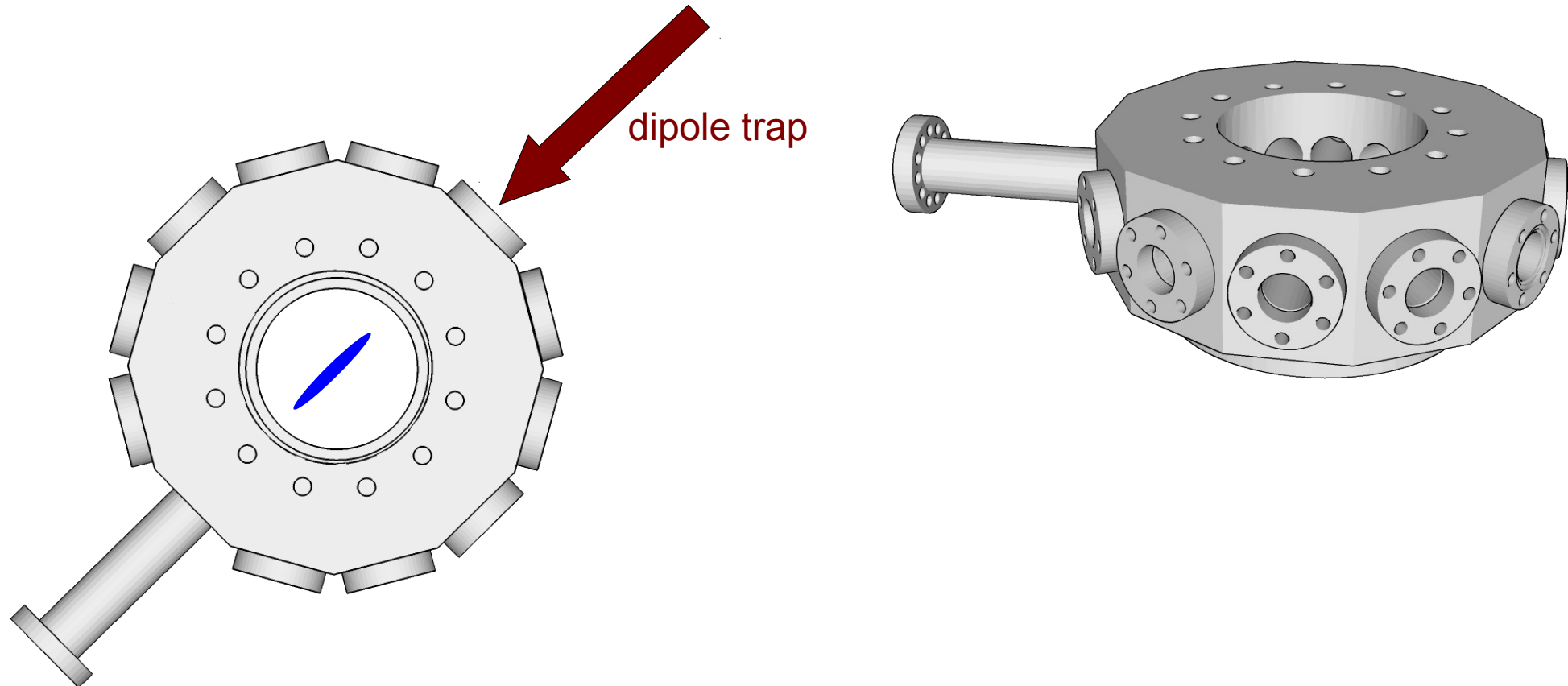
Séminaire du groupe atomes froids

Part 1

Our experimental setup



► Experimental scheme – step 3 : Lattice



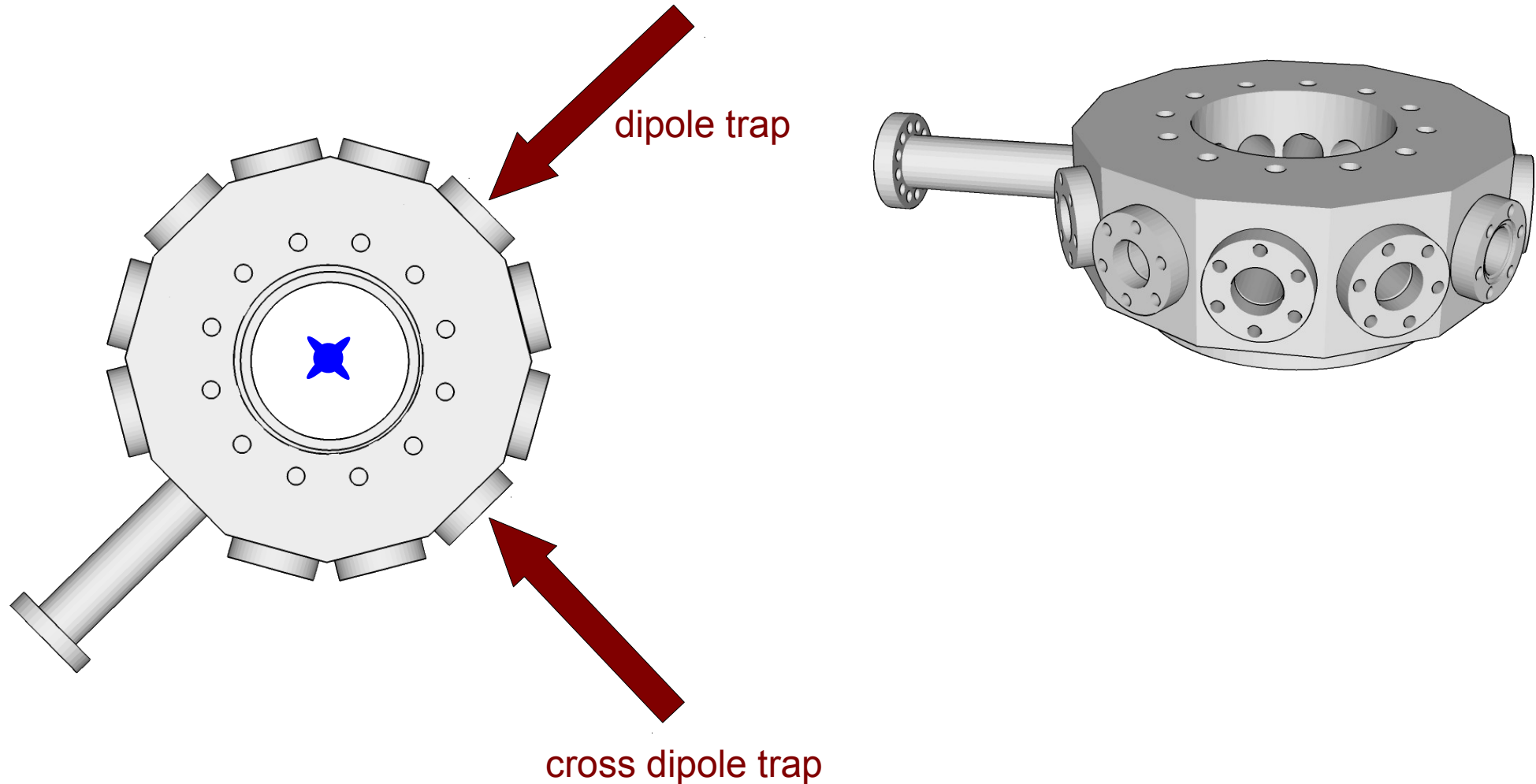
Séminaire du groupe atomes froids

Part 1

Our experimental setup



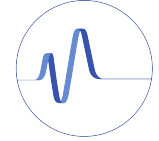
► Experimental scheme – step 3 : Lattice



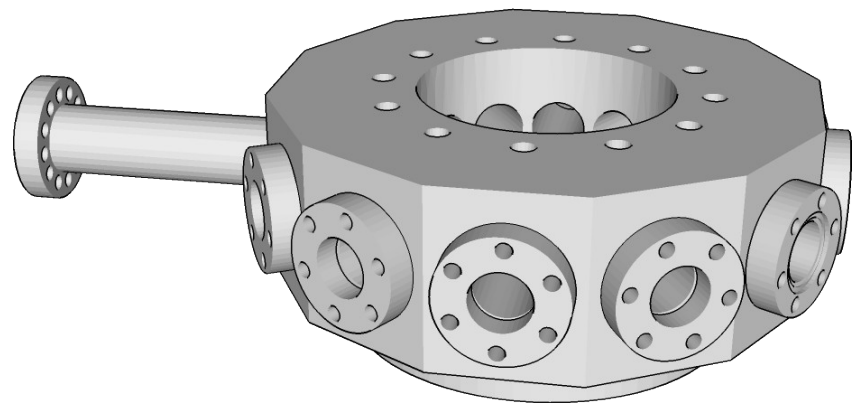
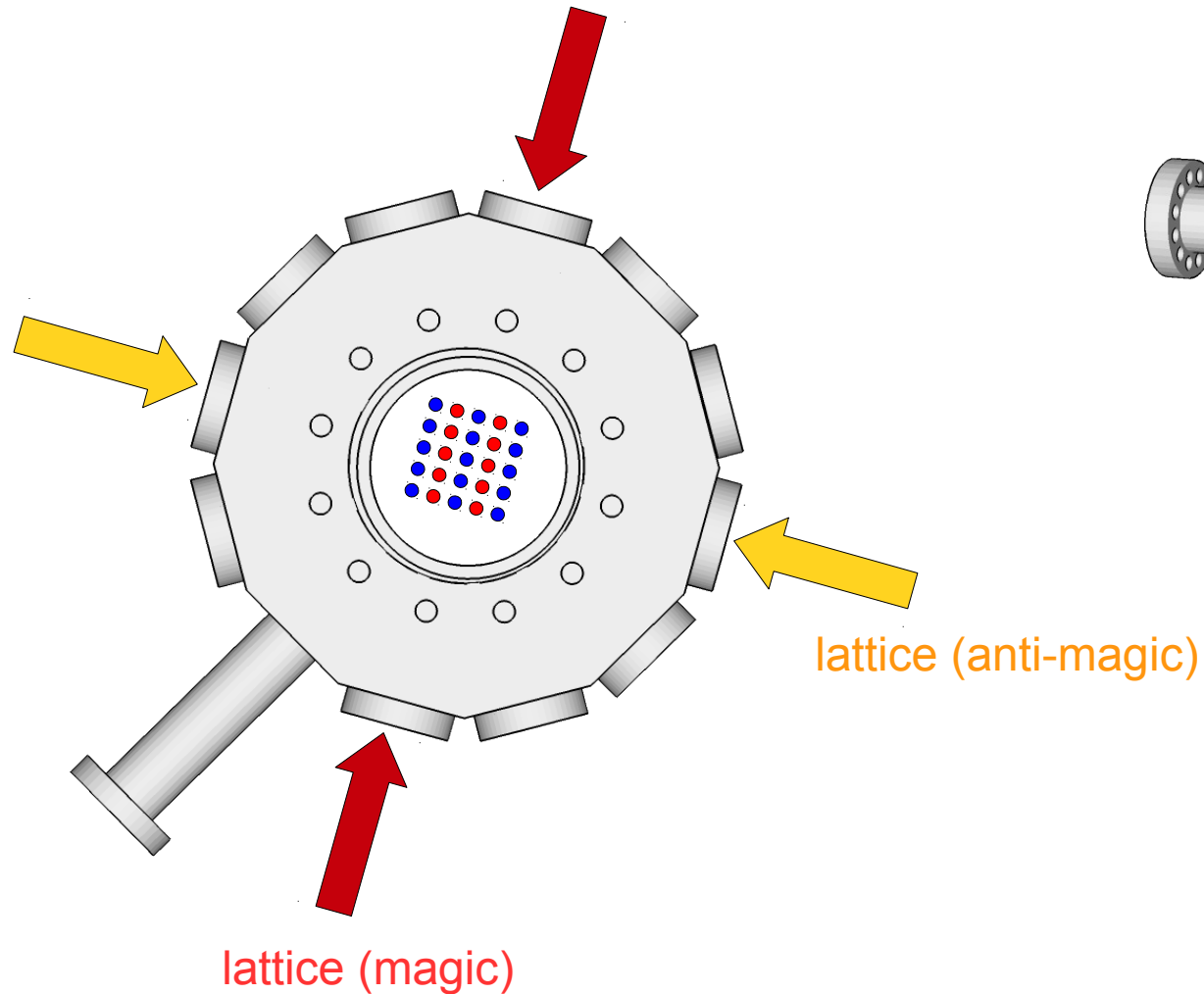
Séminaire du groupe atomes froids

Part 1

Our experimental setup



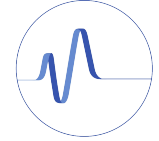
► Experimental scheme – step 3 : Lattice



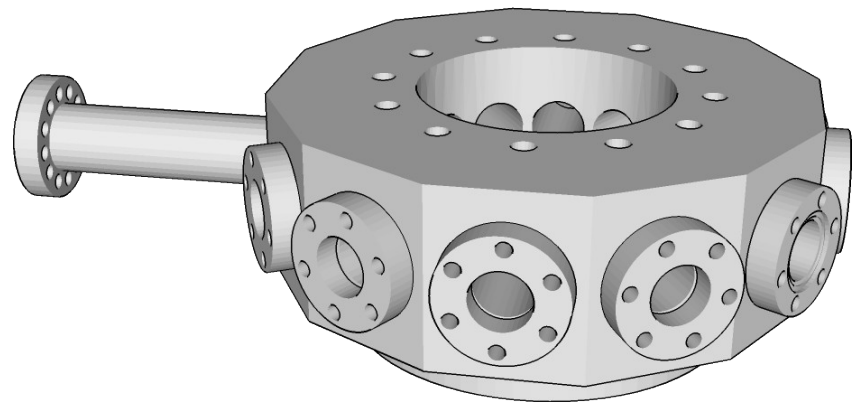
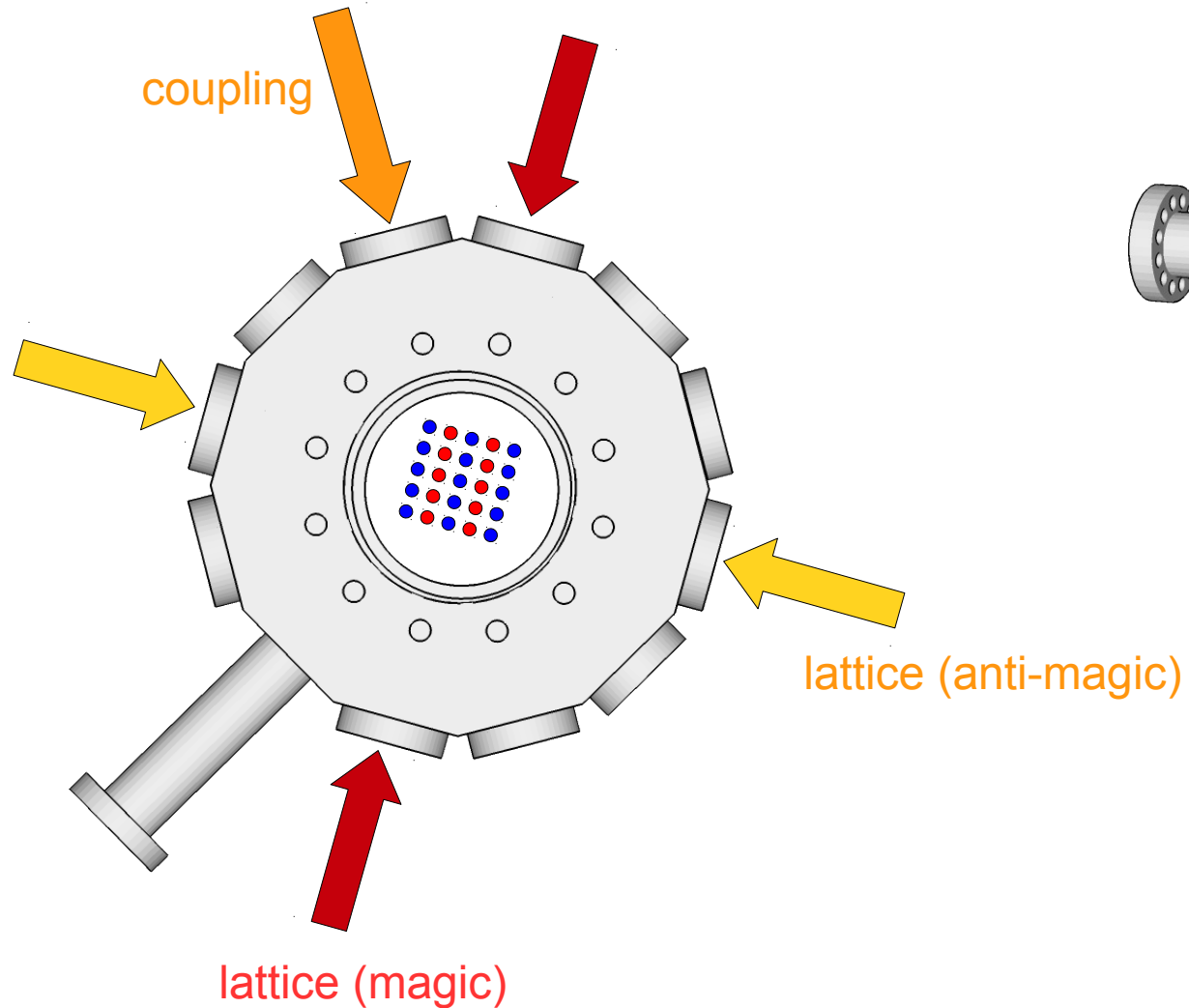
Séminaire du groupe atomes froids

Part 1

Our experimental setup



► Experimental scheme – step 3 : Lattice



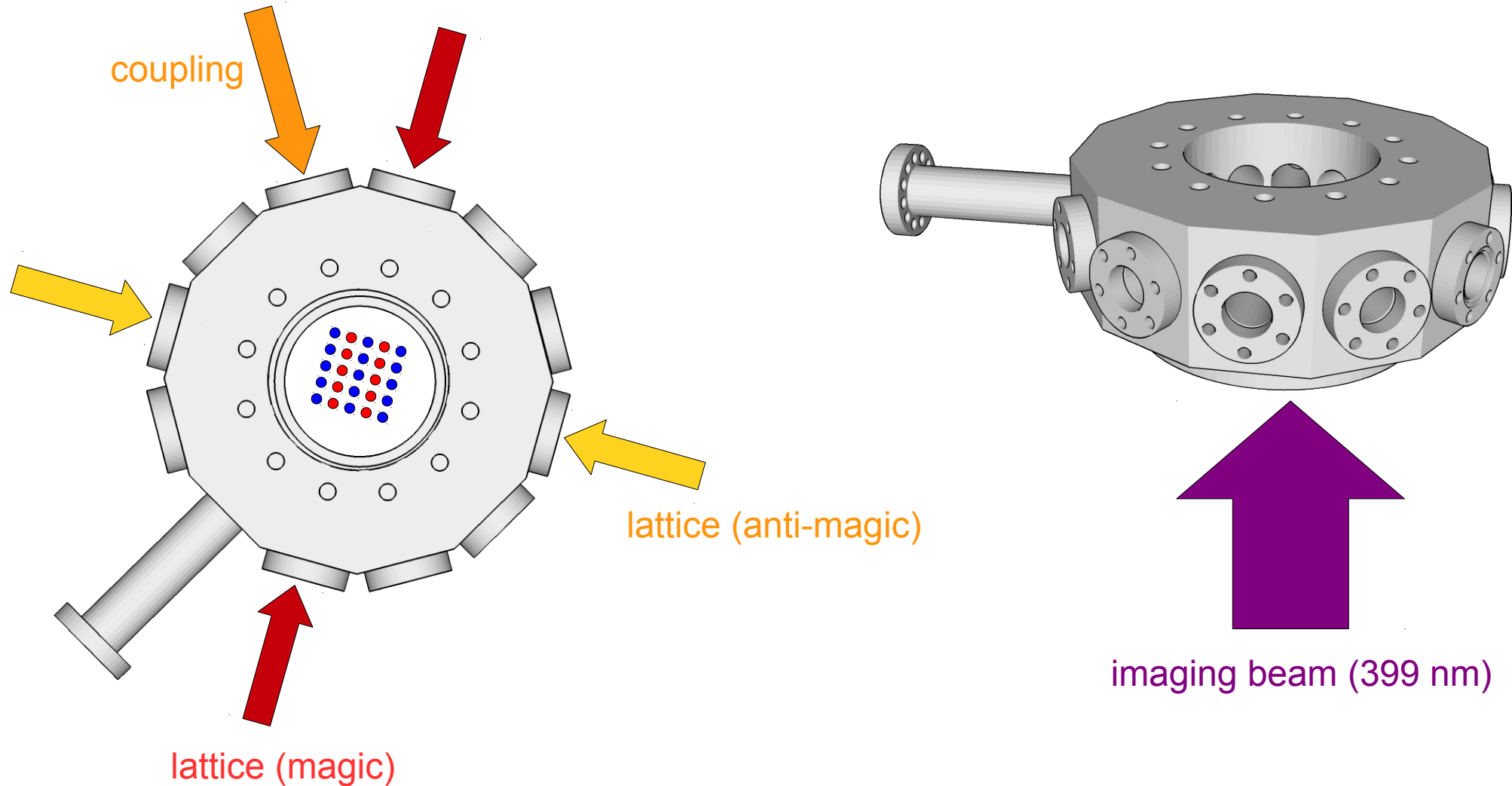
Séminaire du groupe atomes froids

Part 1

Our experimental setup



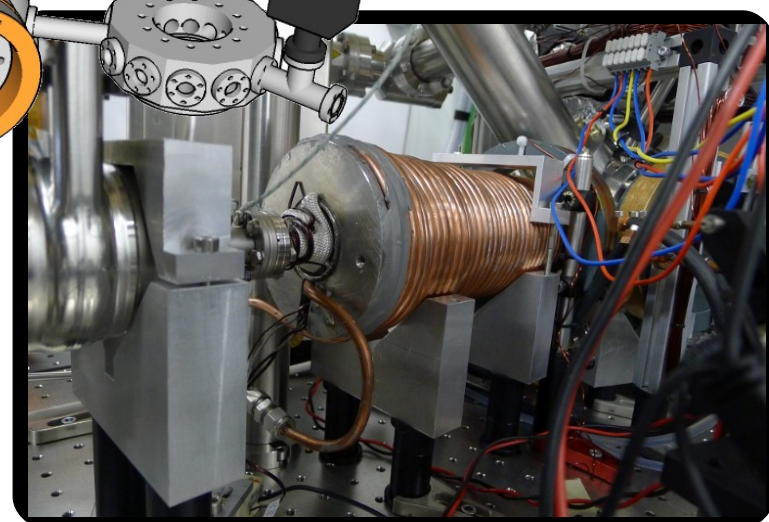
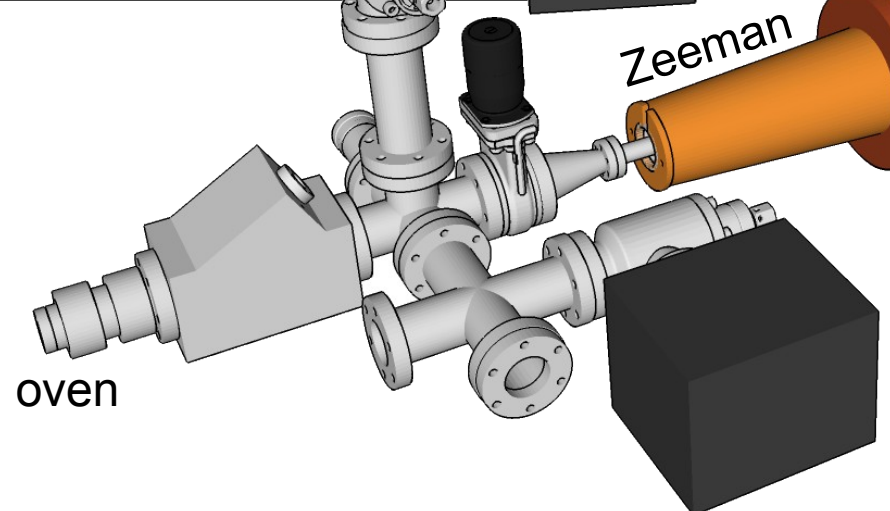
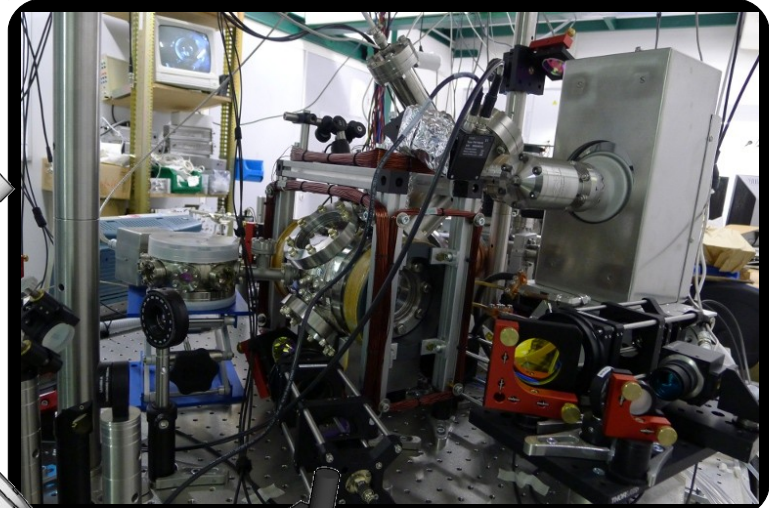
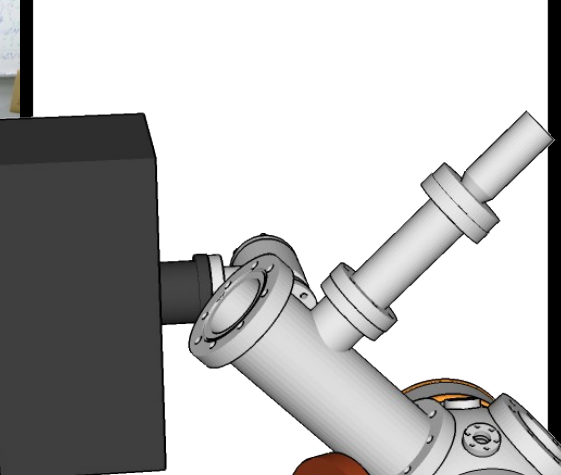
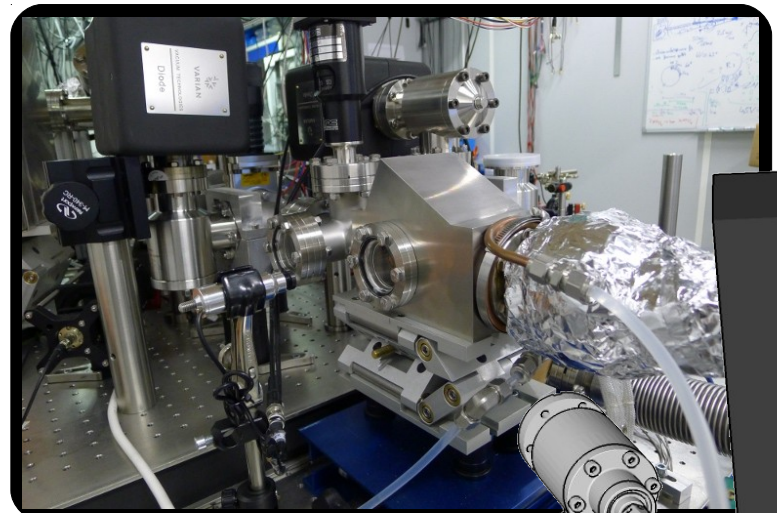
► Experimental scheme – step 3 : Lattice



Séminaire du groupe atomes froids

Part 1

► Experimental setup : The vacuum system



Séminaire du groupe atomes froids

Outline

On the road to artificial gauge field

Institut Francilien de



IFRAF

Recherche sur les Atomes Froids
Laboratoire Kastler Brossel
Physique quantique et applications

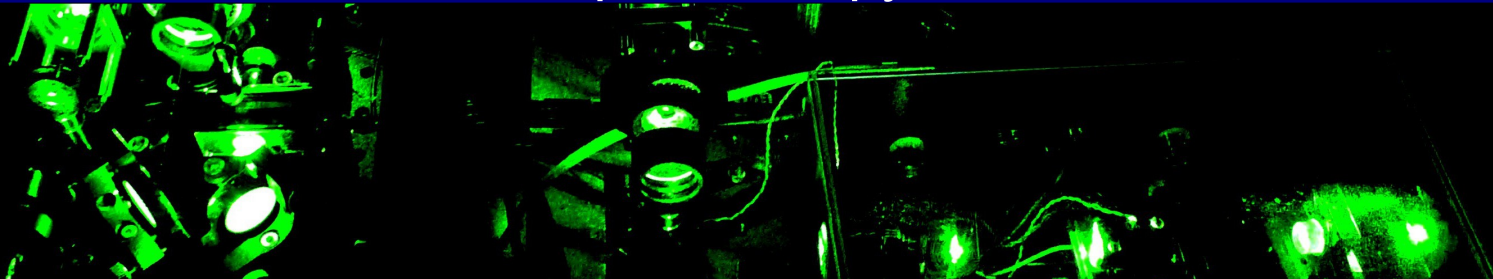


Outline of the talk :

► Part 1 : Our experimental setup



► Part 2 : Lasers & Ytterbium spectroscopy



► Part 3 : First steps toward ytterbium cooling



Séminaire du groupe atomes froids

Part 2

Lasers & Ytterbium spectroscopy



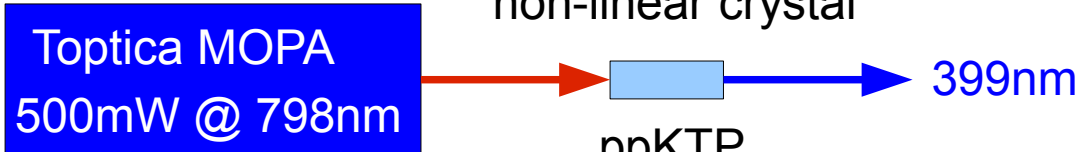
► Cooling lasers : frequency doubling (single pass)

1

« Blue » transition : 399 nm

- Large Γ → efficient slowing
- $T_D = 690 \mu\text{K}$

► Zeeman slower



$$P_{\text{blue}} = \alpha P_{\text{IR}}^2$$

$$\alpha \sim 1.2 \% \text{ W}^{-1}$$

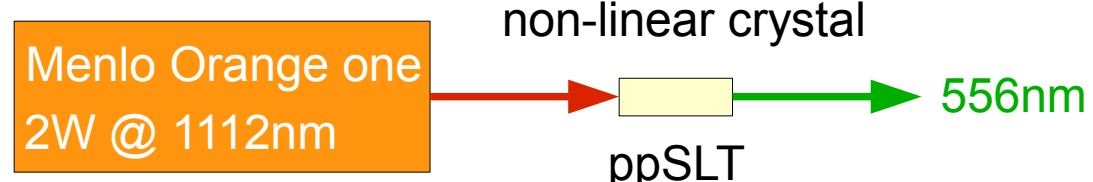
$$\text{NB : } I_{\text{sat}} = 60 \text{ mw/cm}^2$$

2

« Green » transition : 556 nm

- Small width → low Doppler temp.
- $T_D = 4.4 \mu\text{K}$

► MOT



$$P_{\text{green}} = \alpha P_{\text{IR}}^2$$

$$\alpha \sim 1 \% \text{ W}^{-1}$$

Only a few milliwatts in single pass → use a cavity !

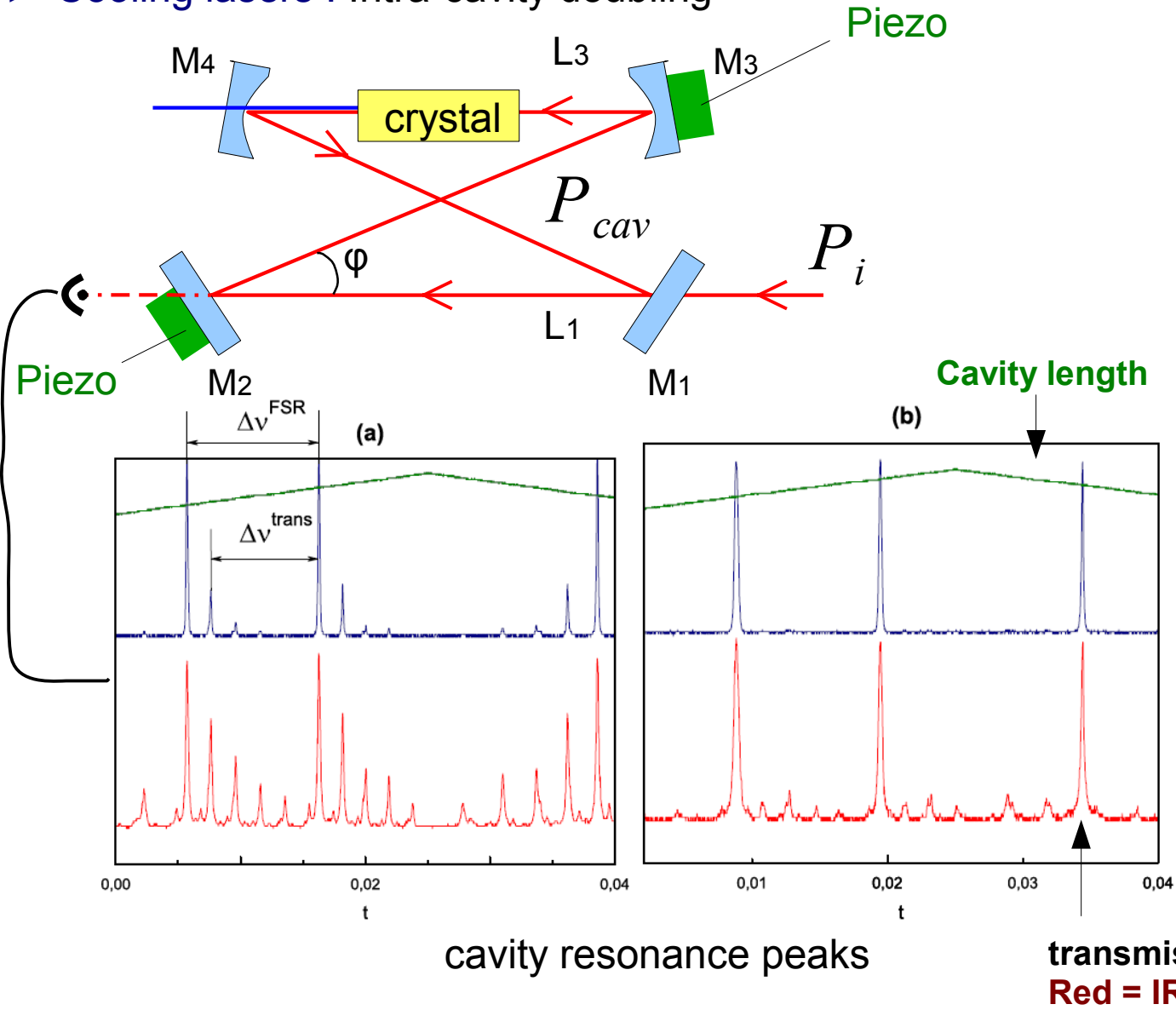
Séminaire du groupe atomes froids

Part 2

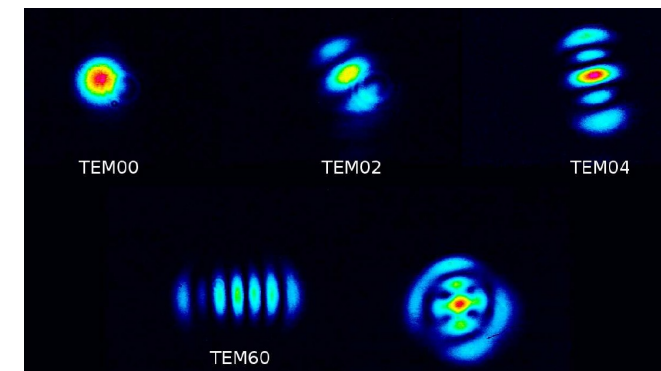
Lasers & Ytterbium spectroscopy



► Cooling lasers : Intra-cavity doubling



$$\frac{P_{cav}}{P_i} \gg 1$$

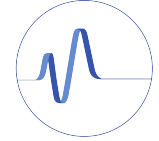


transverse modes

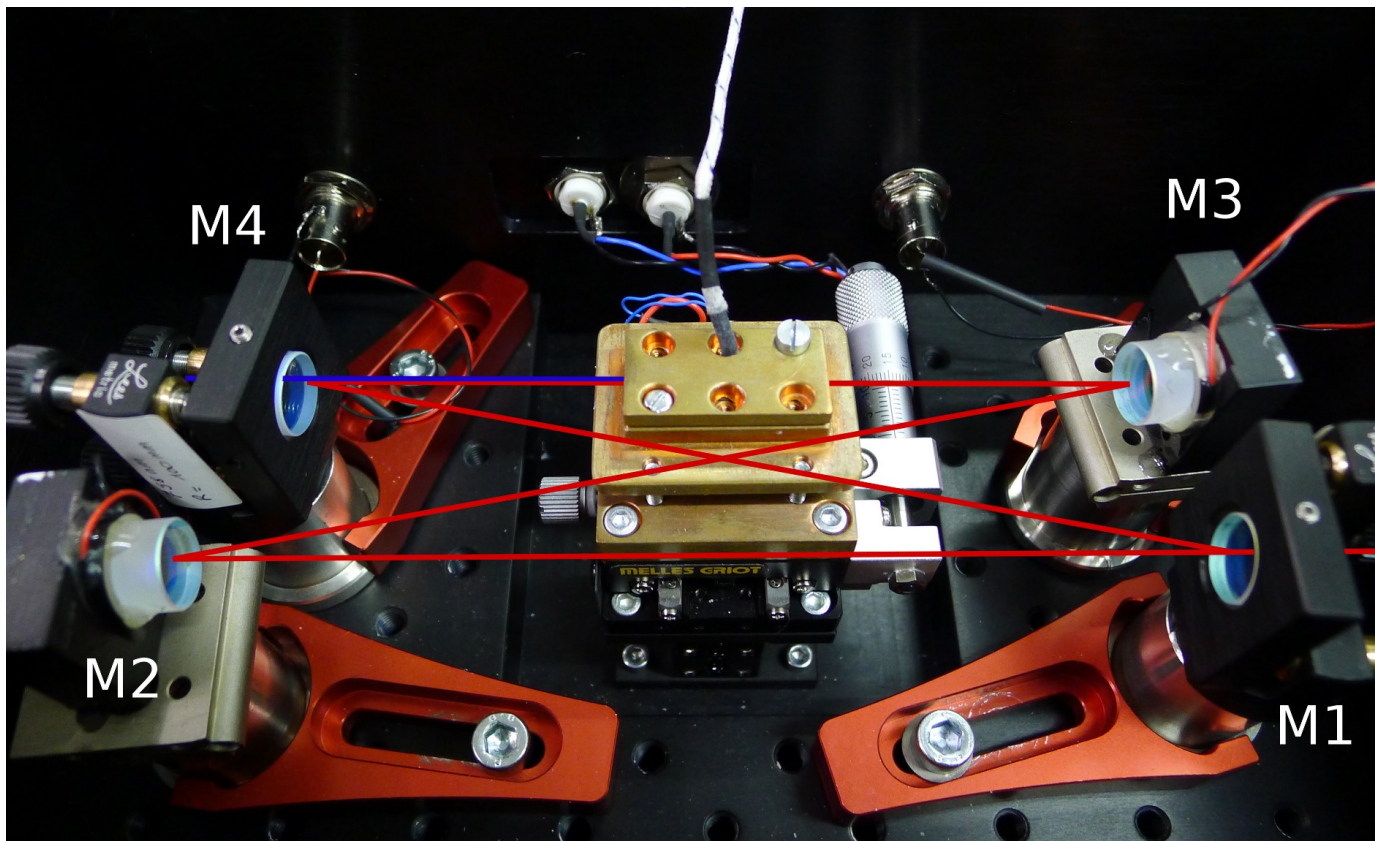
Séminaire du groupe atomes froids

Part 2

Lasers & Ytterbium spectroscopy



► Cooling lasers : Intra-cavity doubling



Green Cavity

Finesse ~ 50
 P (intra-cavity) $\sim 10W$
 P green $\sim 1 W$

Blue Cavity

Finesse ~ 60
 P (intra-cavity) $\sim 4W$
 P blue $\sim 150mW$

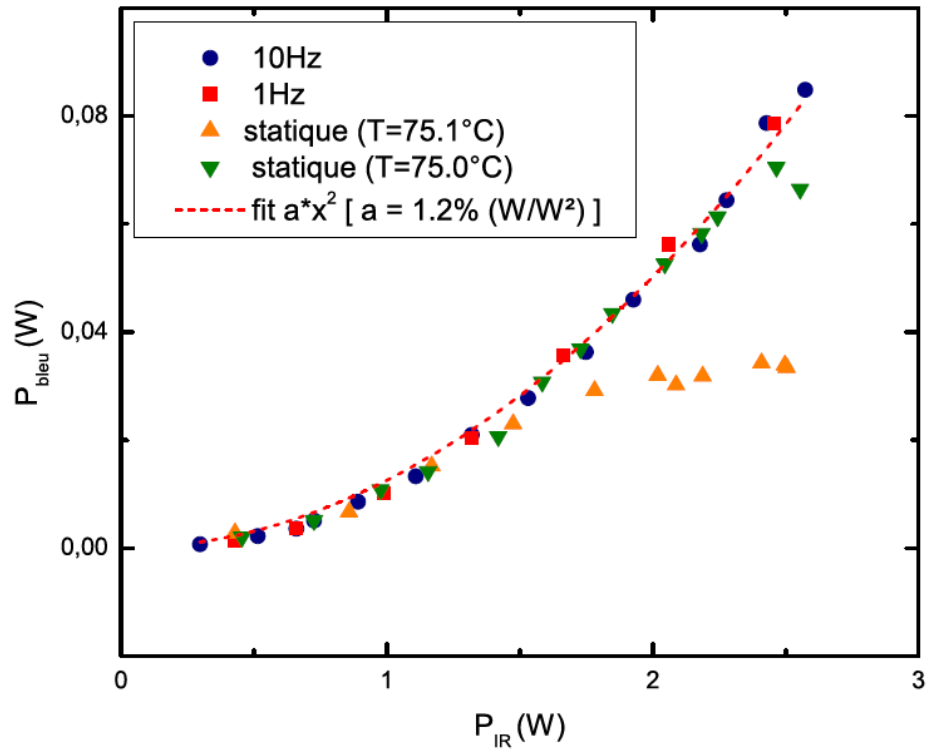
Séminaire du groupe atomes froids

Part 2

Lasers & Ytterbium spectroscopy

► Cooling lasers : Blue laser thermal effects

Thermal effects in continuous doubling regime



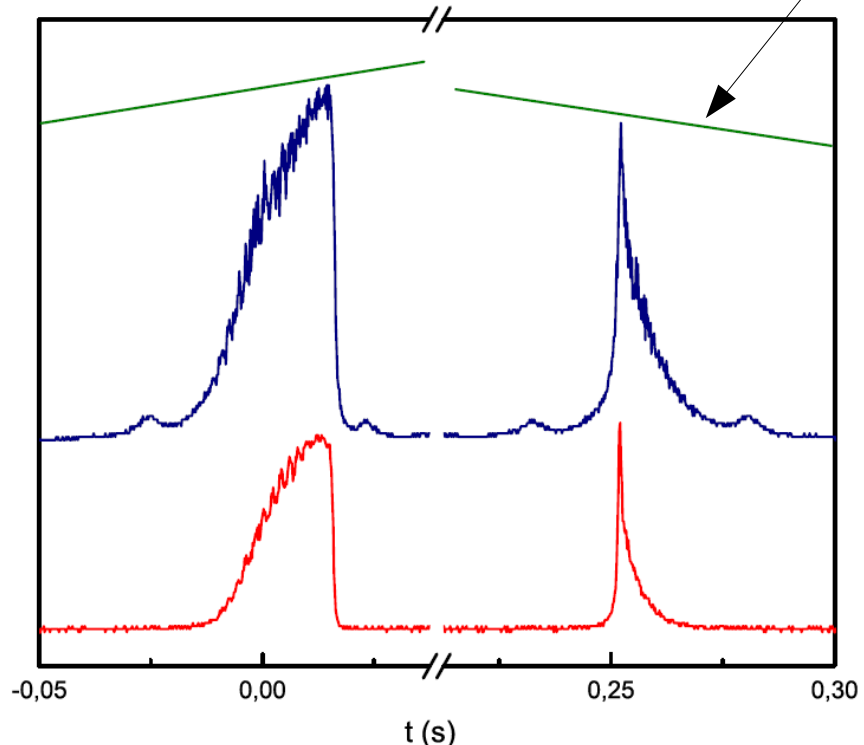
Intra-cavity doubling efficiency

- thermal effects with ppKTP crystals : Blue Induced Infra-Red Absorption (BLIIIRA)
- non-linear behaviour : bi-stability & hysteresis
- messes the cavity locking



Piezo tension (= - cavity length)

Extra noise and peaks distortion



Cavity resonance peaks

Move to a non-optimal doubling regime by increasing waist in the crystal

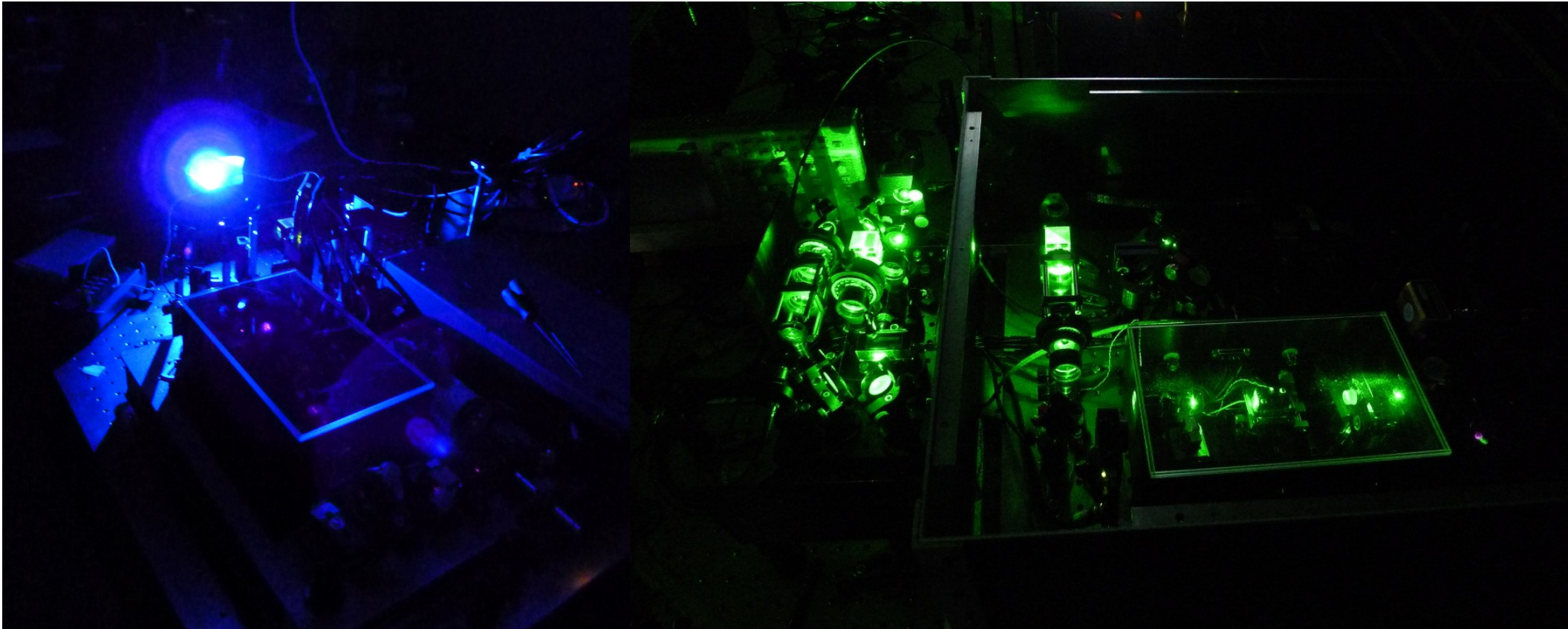
Séminaire du groupe atomes froids

Part 2

Lasers & Ytterbium spectroscopy



► Cooling lasers : Lasers at work !

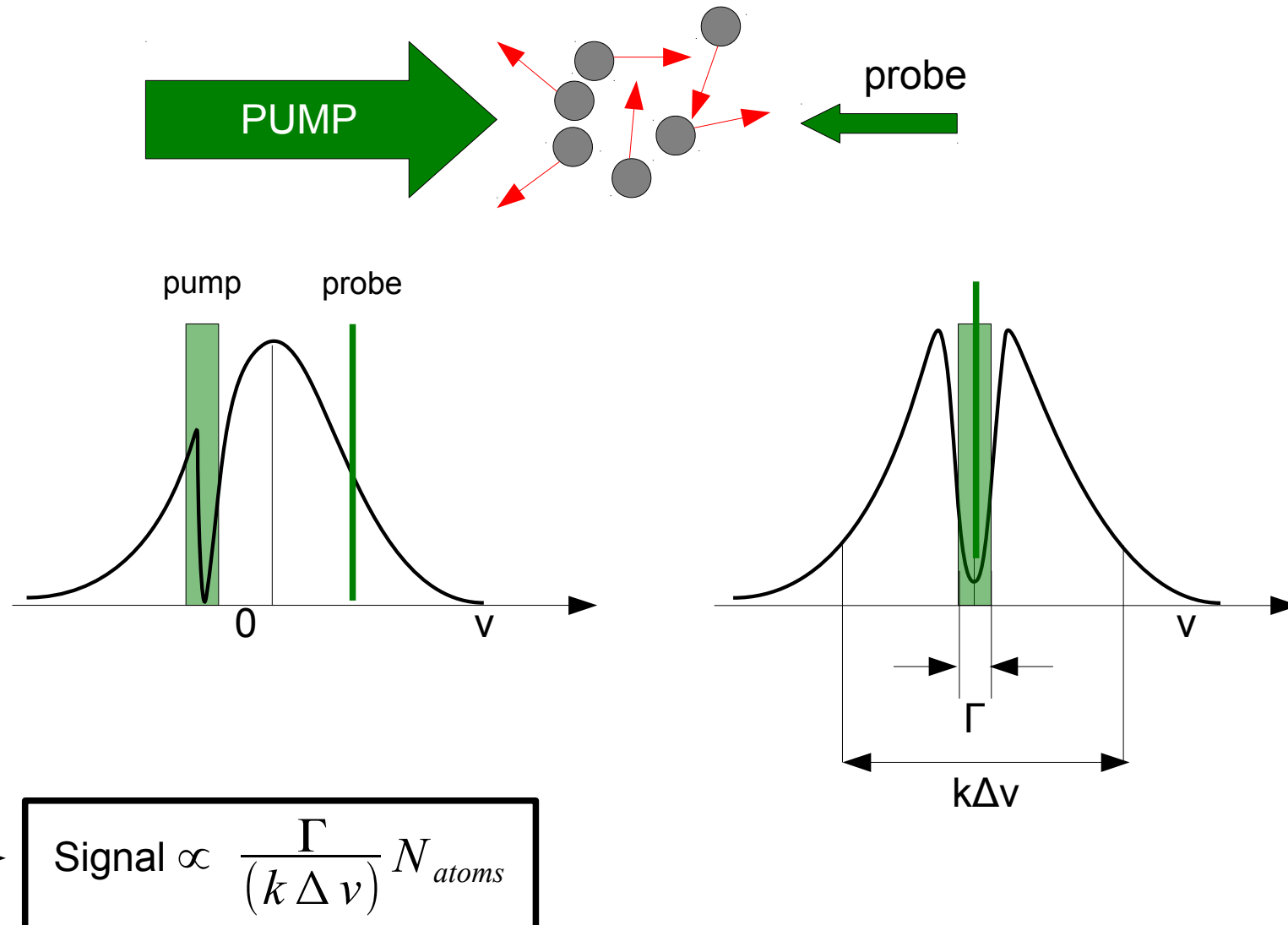


Séminaire du groupe atomes froids

Part 2

Lasers & Ytterbium spectroscopy

► Spectroscopy : saturated absorption (Doppler-free spectroscopy)



Séminaire du groupe atomes froids

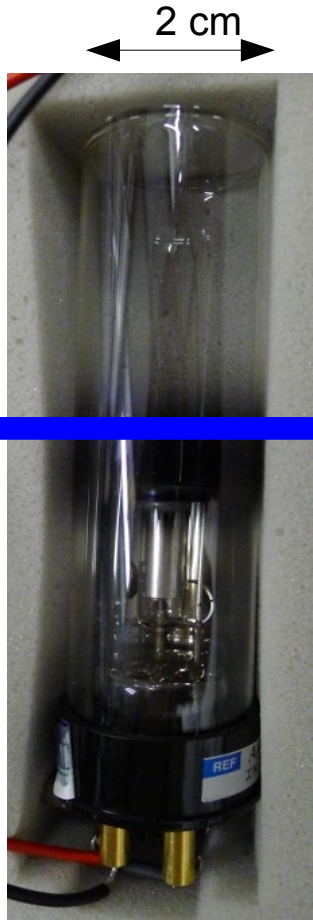
Part 2

Lasers & Ytterbium spectroscopy

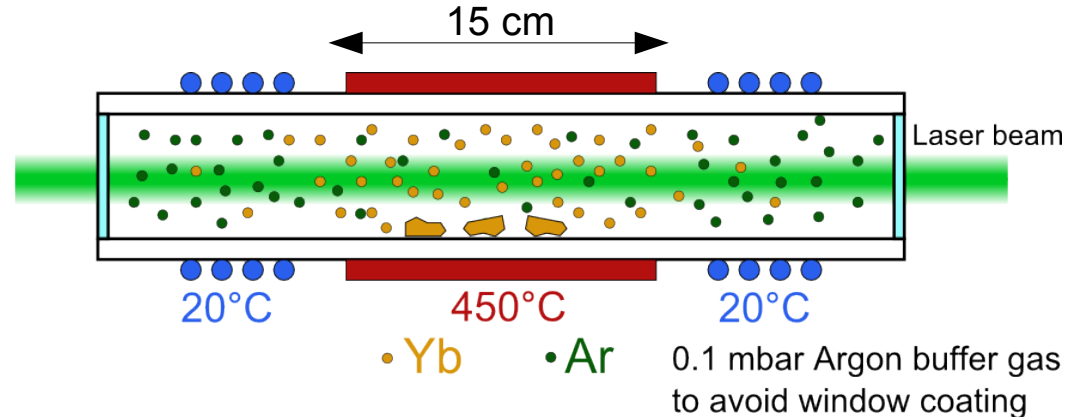
► Spectroscopy : Yb cells

$$\text{Signal} \propto \frac{\Gamma}{(k \Delta v)} N_{atoms}$$

Blue laser (large Γ) : hollow cathode lamp



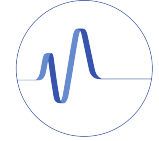
Green laser (small Γ) : heatpipe



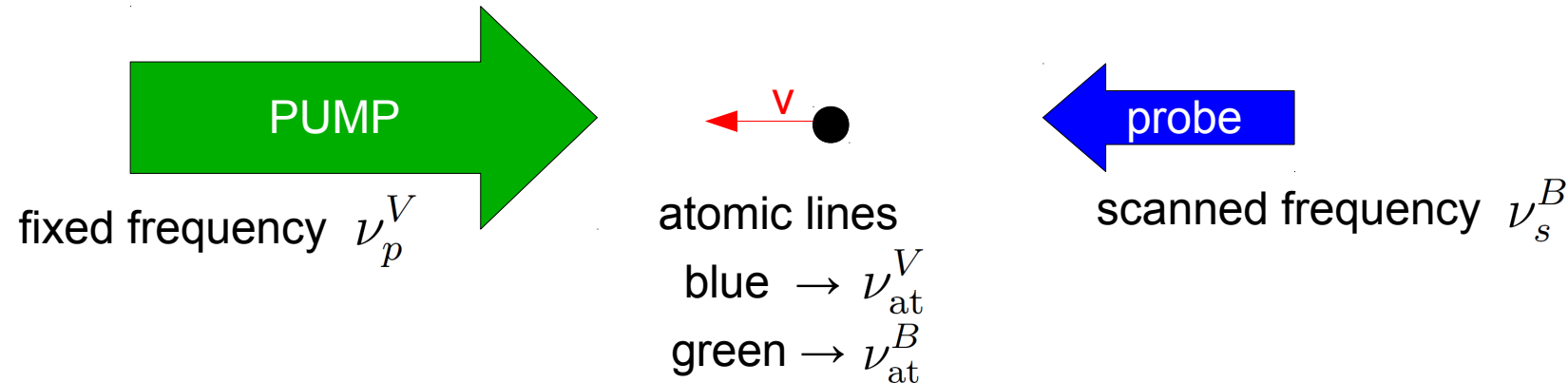
Séminaire du groupe atomes froids

Part 2

Lasers & Ytterbium spectroscopy



- Spectroscopy : cross saturated absorption principle – one isotope



- ◆ Pump depletes a class of speed v such as : $\nu_p^V = \nu_{\text{at}}^V - v/\lambda_V$
- ◆ Probe sees a dip in absorption for this class when $\nu_s^B = \nu_{\text{at}}^B + v/\lambda_B$

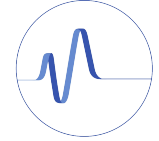
$$\nu_s^B = \nu_{\text{at}}^B + \frac{\lambda_V}{\lambda_B} (\nu_{\text{at}}^V - \nu_p^V)$$

- ◆ If pump is within the Doppler profile of n_1 transitions $\rightarrow n_1$ classes of speeds depleted
 - ◆ If probe can scan over n_2 transitions \rightarrow each class of speed shows n_2 lines
- We see $n_1 \times n_2$ lines (cross-over)

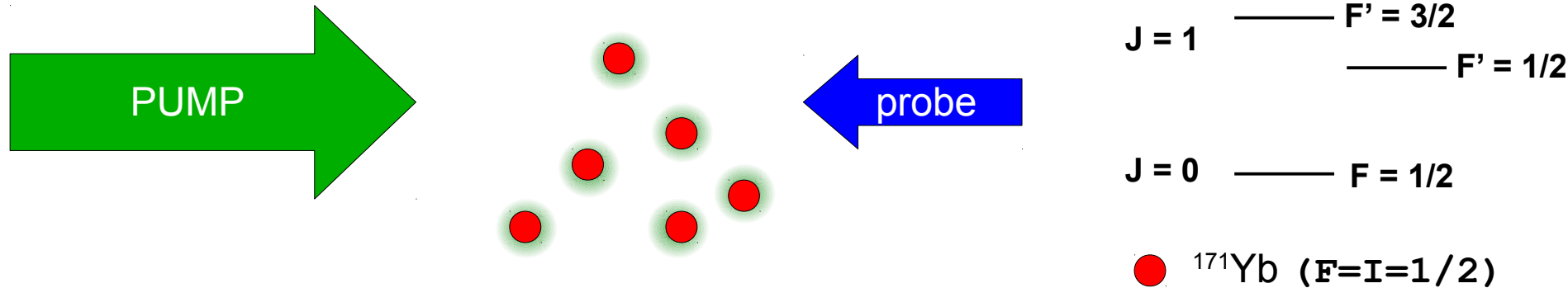
Séminaire du groupe atomes froids

Part 2

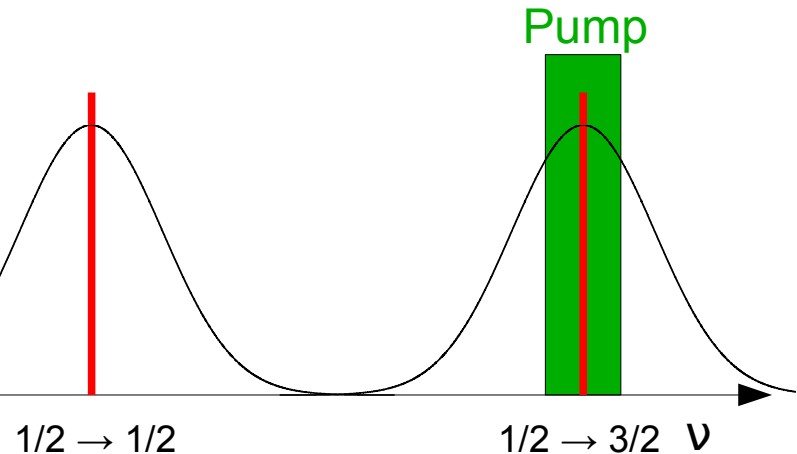
Lasers & Ytterbium spectroscopy



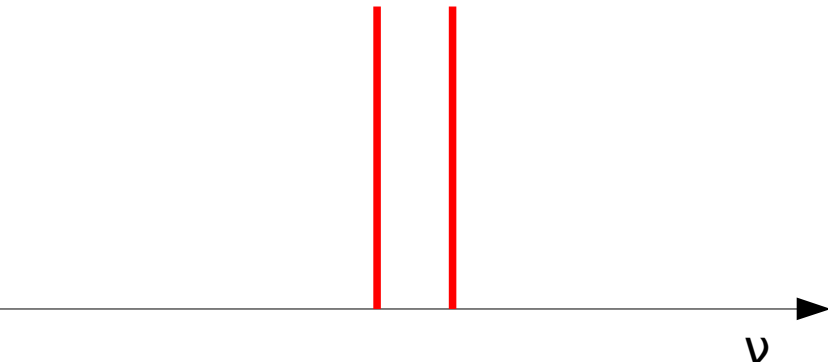
► Spectroscopy : cross saturated absorption principle – several isotopes



Green transition spectrum



Spectrum seen by the blue probe :

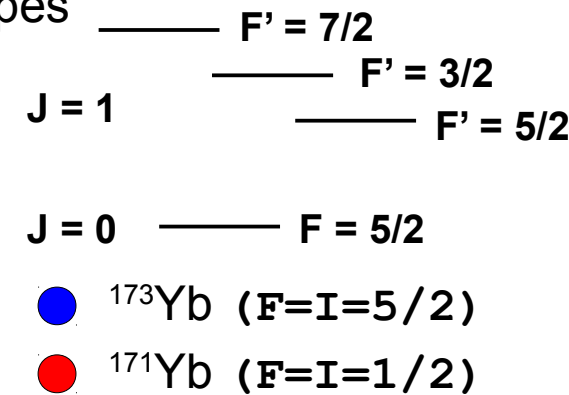
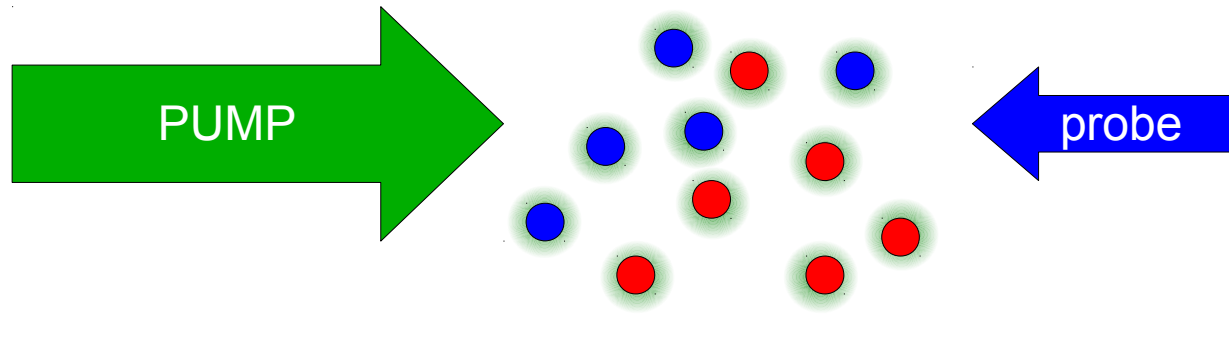


Séminaire du groupe atomes froids

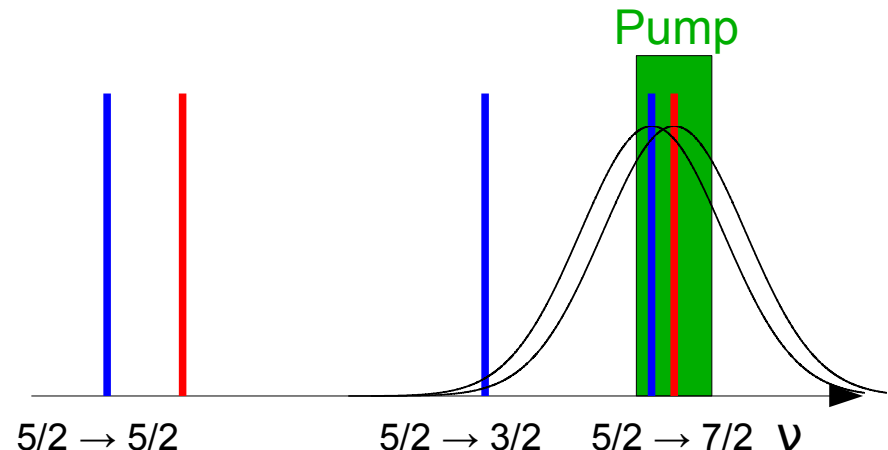
Part 2

Lasers & Ytterbium spectroscopy

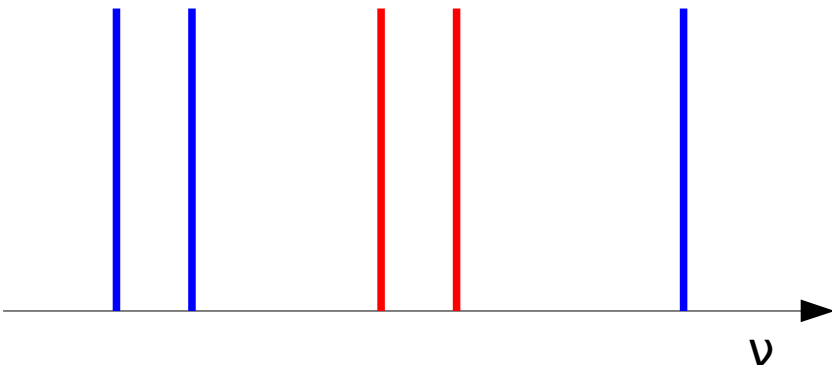
► Spectroscopy : cross saturated absorption principle – several isotopes



Green transition spectrum



Spectrum seen by the blue probe :



Séminaire du groupe atomes froids

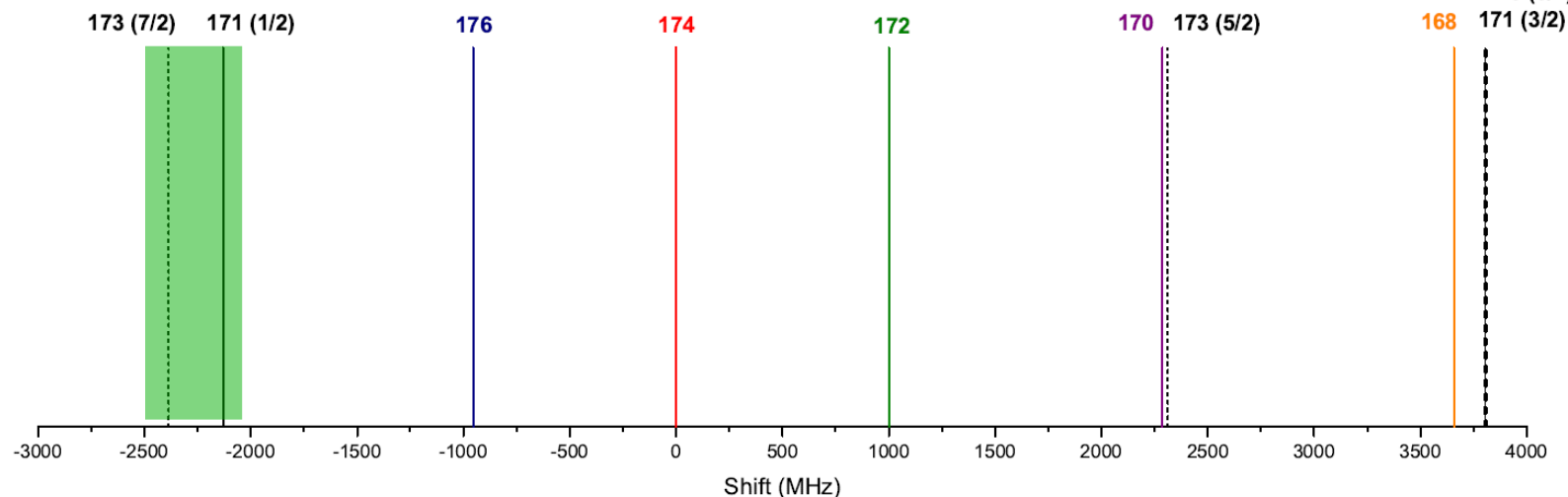
Part 2

Lasers & Ytterbium spectroscopy

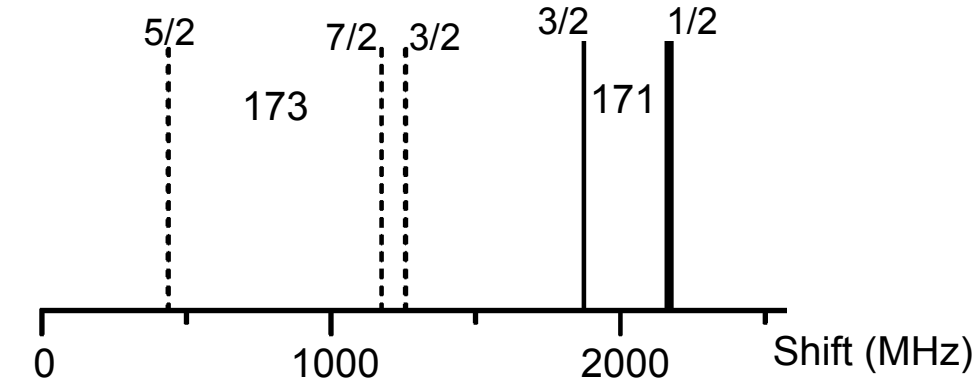


► Spectroscopy : cross saturated absorption experimental example

Green transition spectrum ($^1S_0 \rightarrow ^3P_1$)



Expected cross spectrum

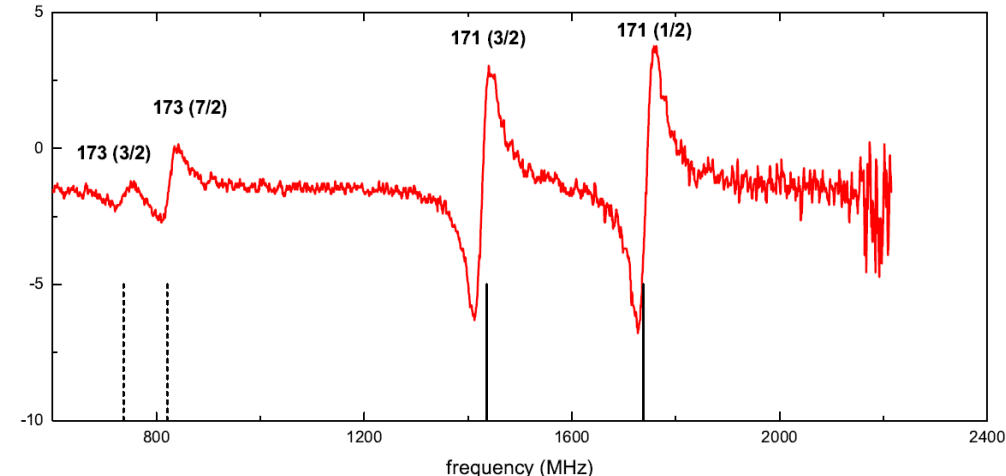
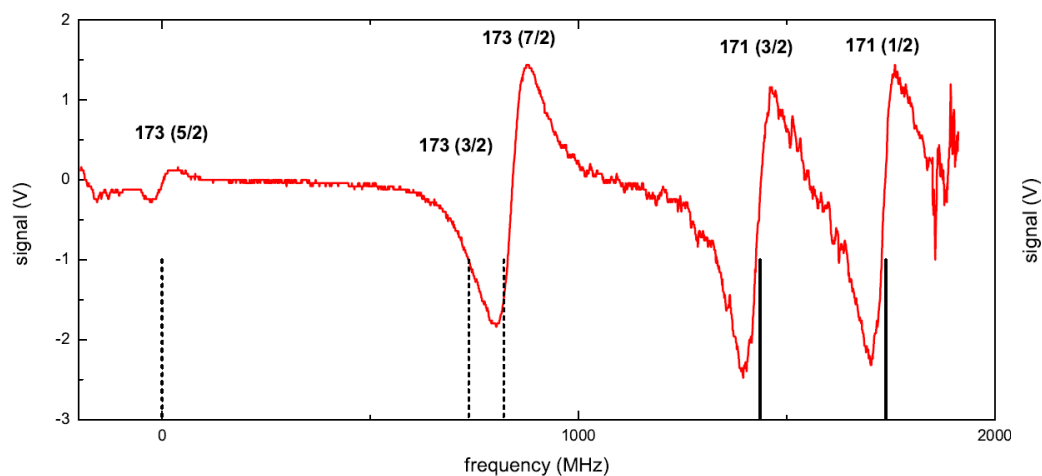
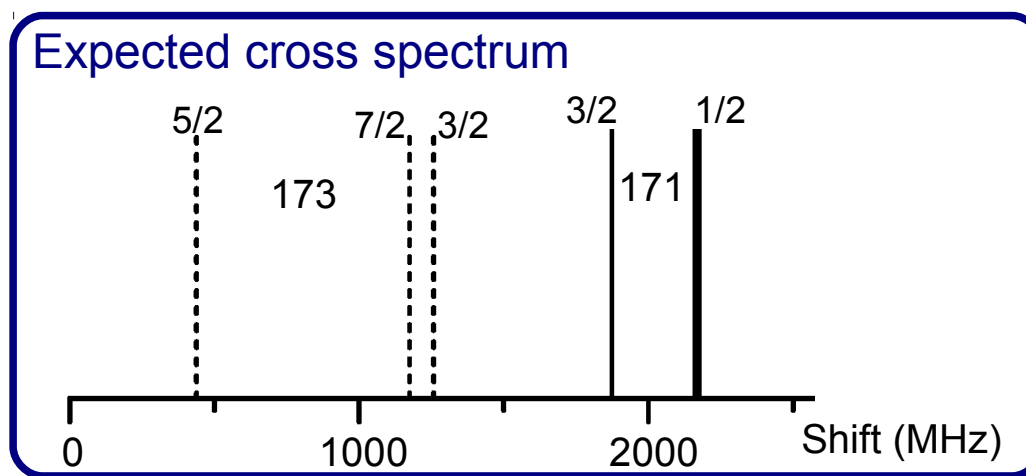


Séminaire du groupe atomes froids

Part 2

Lasers & Ytterbium spectroscopy

► Spectroscopy : cross saturated absorption experimental example



Séminaire du groupe atomes froids

Outline

On the road to artificial gauge field

Institut Francilien de



Recherche sur les Atomes Froids



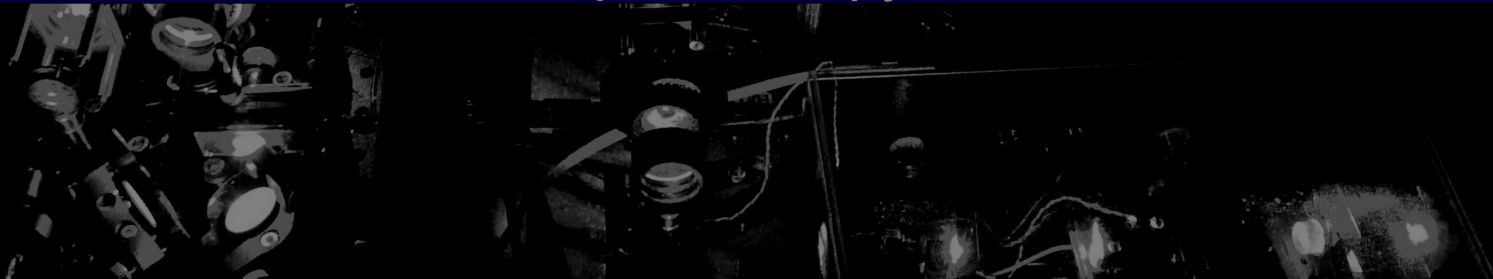
Laboratoire Kastler Brossel
Physique quantique et applications

Outline of the talk :

► Part 1 : Our experimental setup



► Part 2 : Lasers & Ytterbium spectroscopy



► Part 3 : First steps toward ytterbium cooling



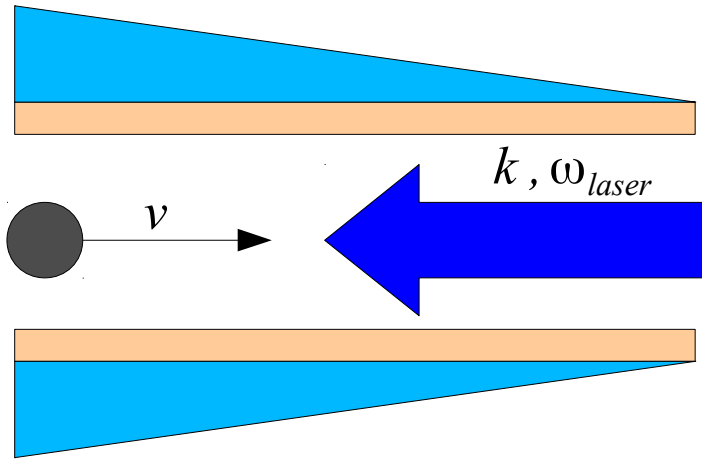
Séminaire du groupe atomes froids

Part 3

First steps toward ytterbium cooling



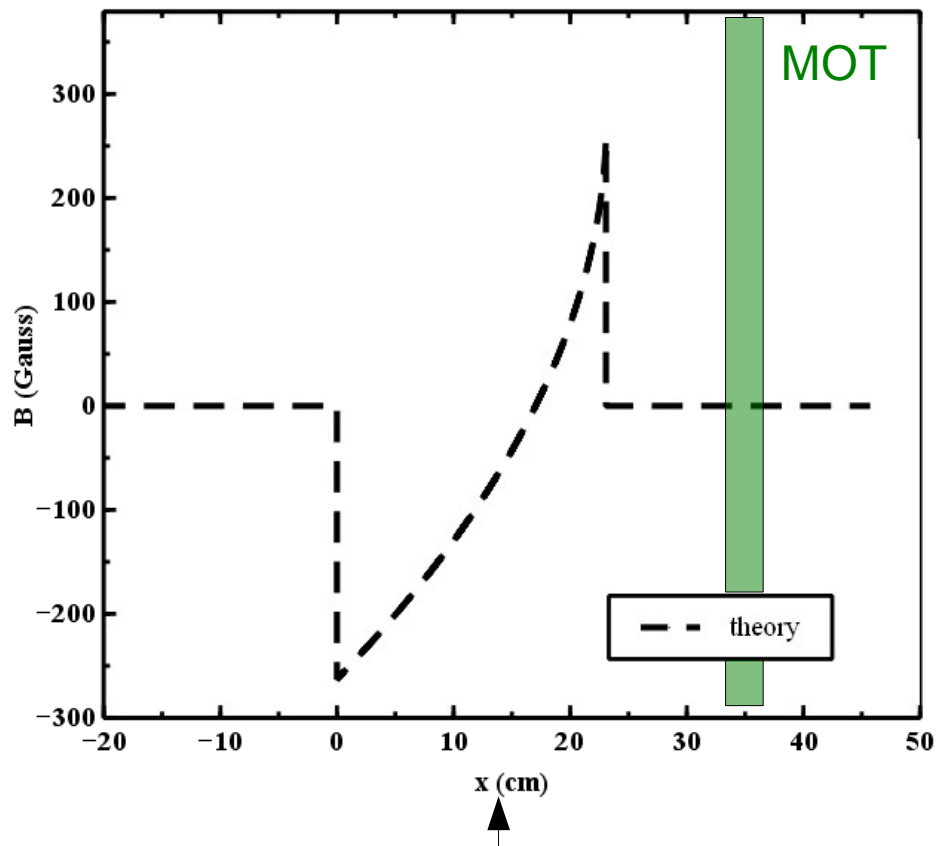
► Zeeman slower :



deceleration as constant force $\rightarrow v(x)$
+ ensure resonance condition :

$$\delta(x) = \omega_{laser} - \omega_{atomic} + kv(x) + \gamma B(x) = 0$$

$$B(x) = B_1 \left(1 - \sqrt{1 - \frac{x}{L}} \right) + B_0$$



Gives laser detuning $\omega_{laser} - \omega_{atomic}$

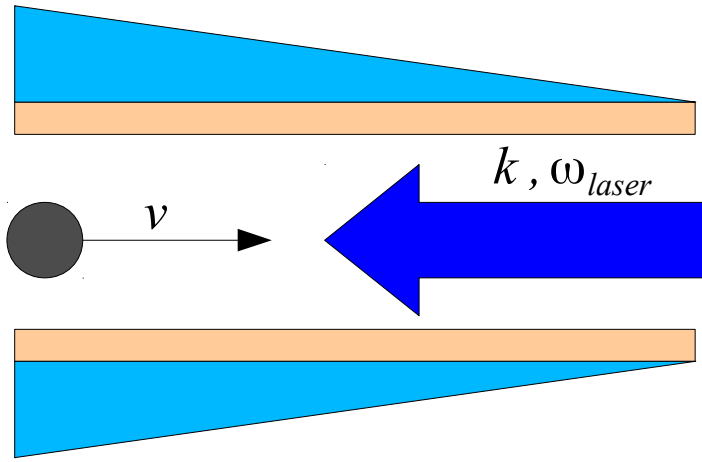
Séminaire du groupe atomes froids

Part 3

First steps toward ytterbium cooling



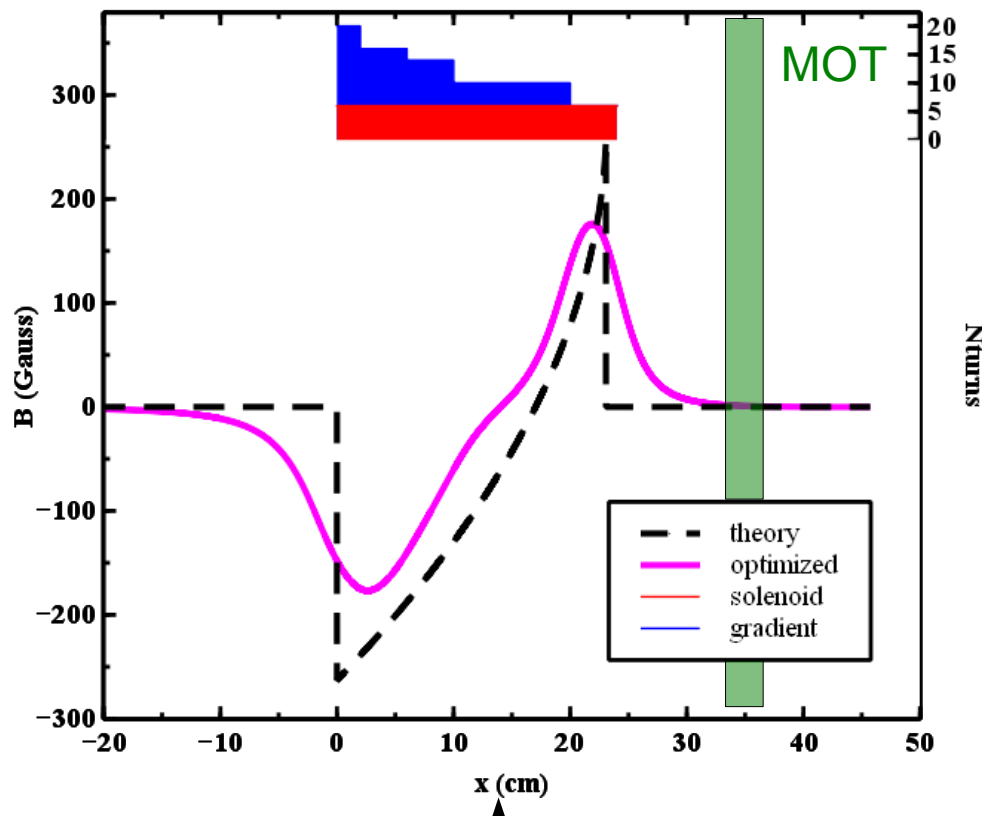
► Zeeman slower :



deceleration as constant force $\rightarrow v(x)$
 + ensure resonance condition :

$$\delta(x) = \omega_{laser} - \omega_{atomic} + kv(x) + \gamma B(x) = 0$$

$$B(x) = B_1 \left(1 - \sqrt{1 - \frac{x}{L}} \right) + B_0$$



Gives laser detuning $\omega_{laser} - \omega_{atomic}$

Séminaire du groupe atomes froids

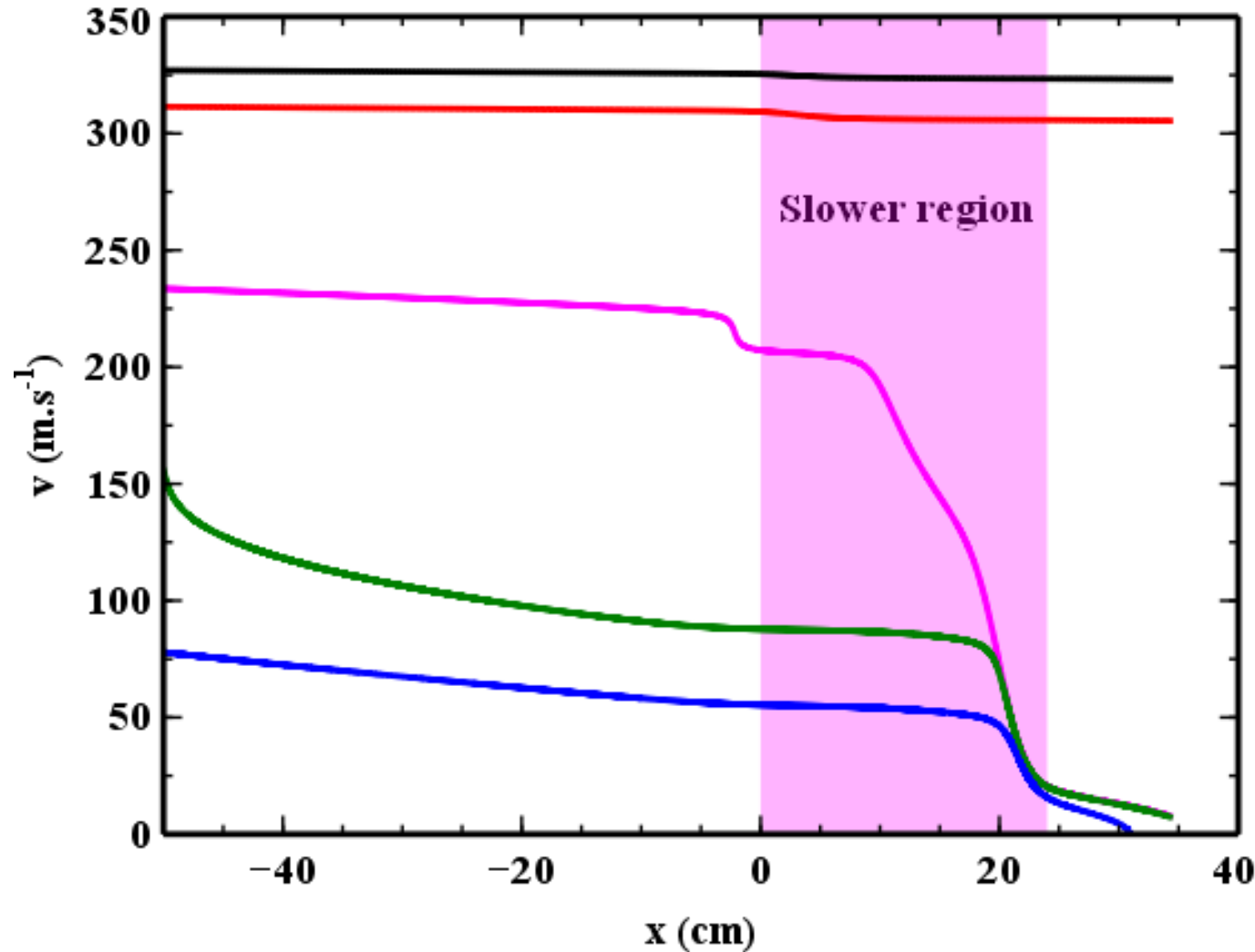
Part 3

First steps toward ytterbium cooling



► Zeeman slower :

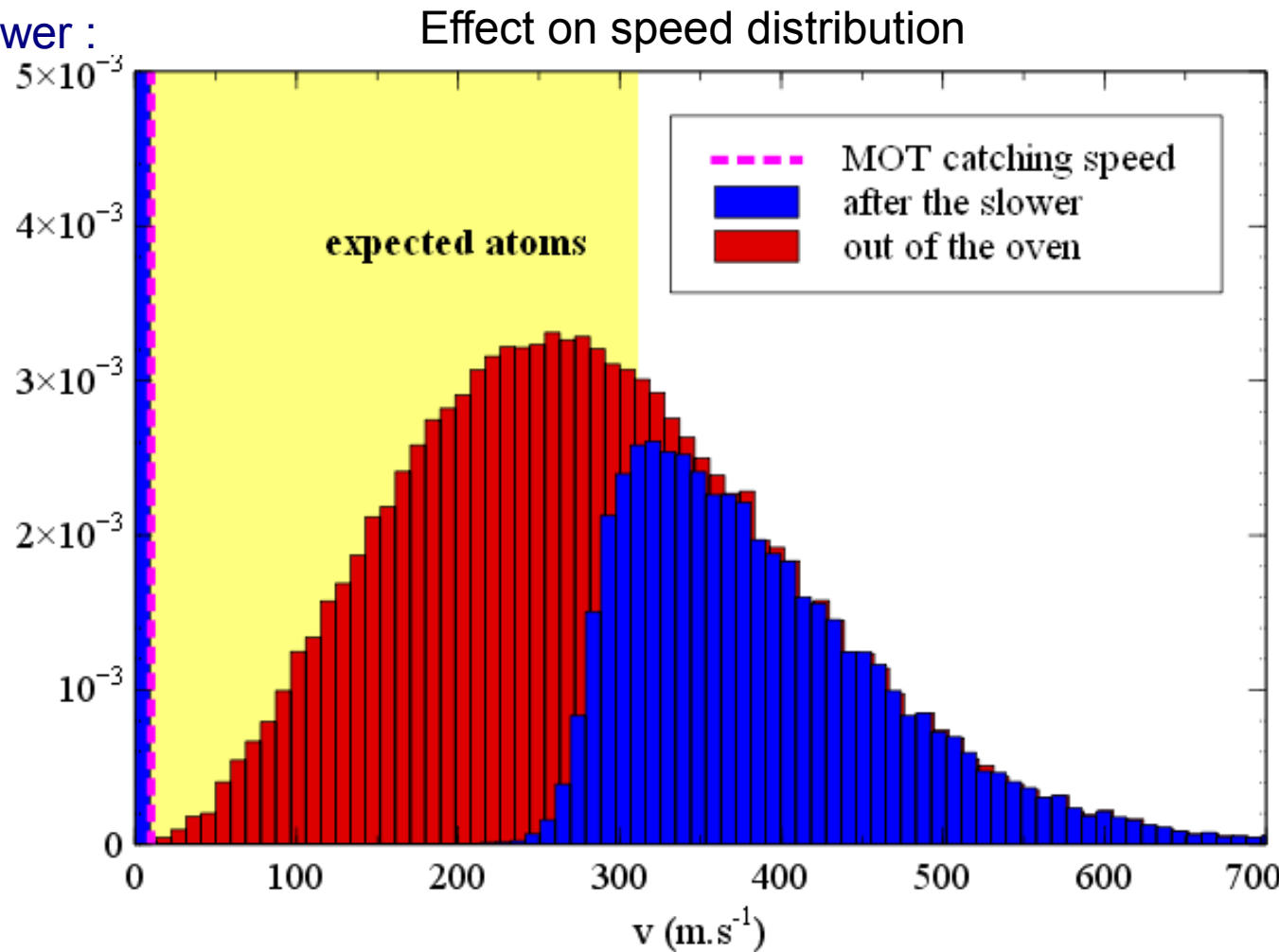
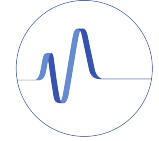
Simulated trajectories



Séminaire du groupe atomes froids

Part 3

First steps toward ytterbium cooling



- Simulation results :
- 16 % of the flux is captured
 - 25 % of expected atoms are captured

NB : we consider that the MOT can catch atoms with $v < 8\text{m/s}$

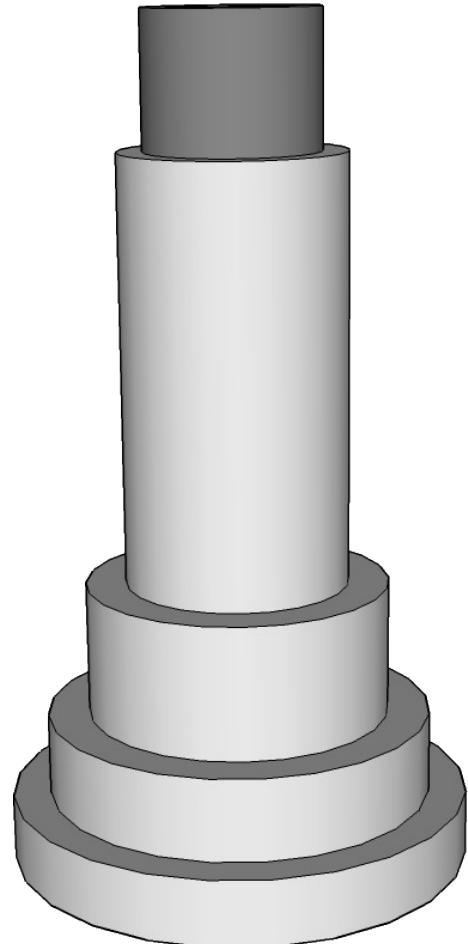
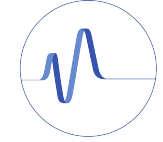
NB' : we take transverse expansion of the beam into account (MOT expected capture radius $\sim 2\text{cm}$)

Séminaire du groupe atomes froids

Part 3

First steps toward ytterbium cooling

► Zeeman slower recipe :



Séminaire du groupe atomes froids

Part 3

First steps toward ytterbium cooling

► Zeeman slower recipe :



Le gâteau à la broche.
couche après couche, la pâte
coulée à la louche sur le cône de bois qui tourne
devant le feu, donne ce savoureux gâteau qu'il
suffit de démolir avant de le couper en tranches
pour le déguster ...

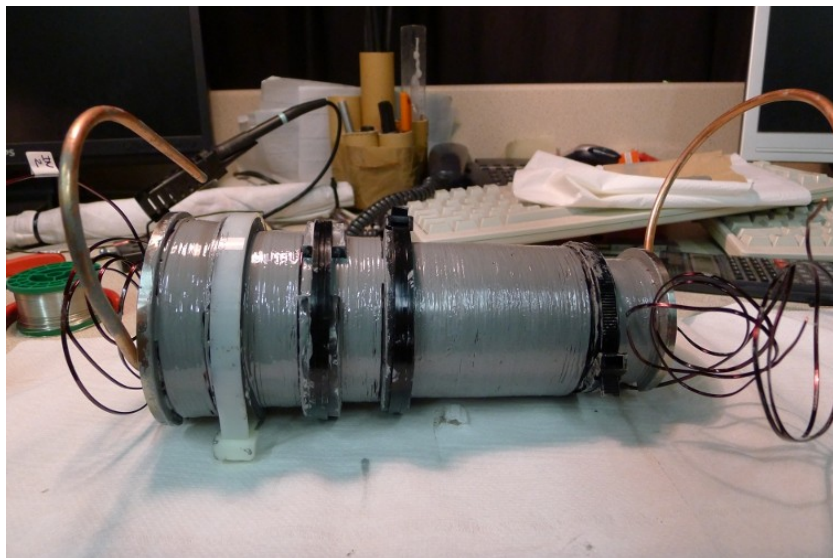
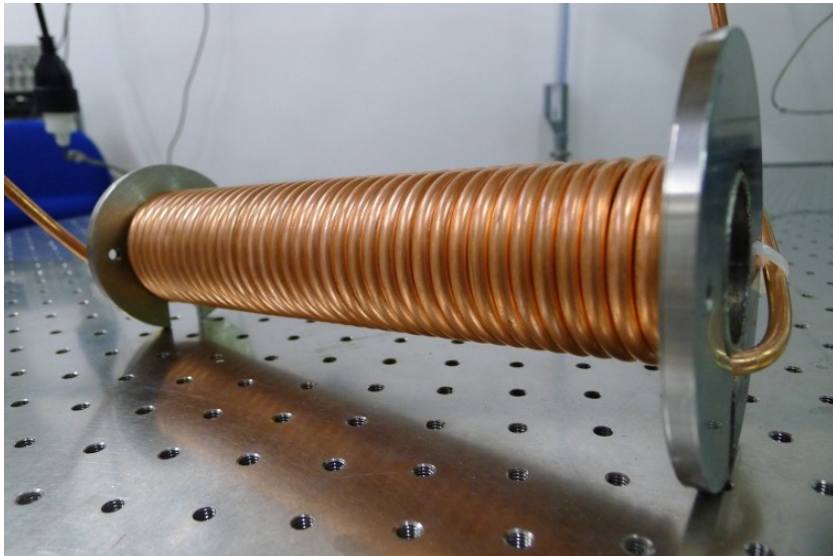


Séminaire du groupe atomes froids

Part 3

First steps toward ytterbium cooling

► Zeeman slower recipe :

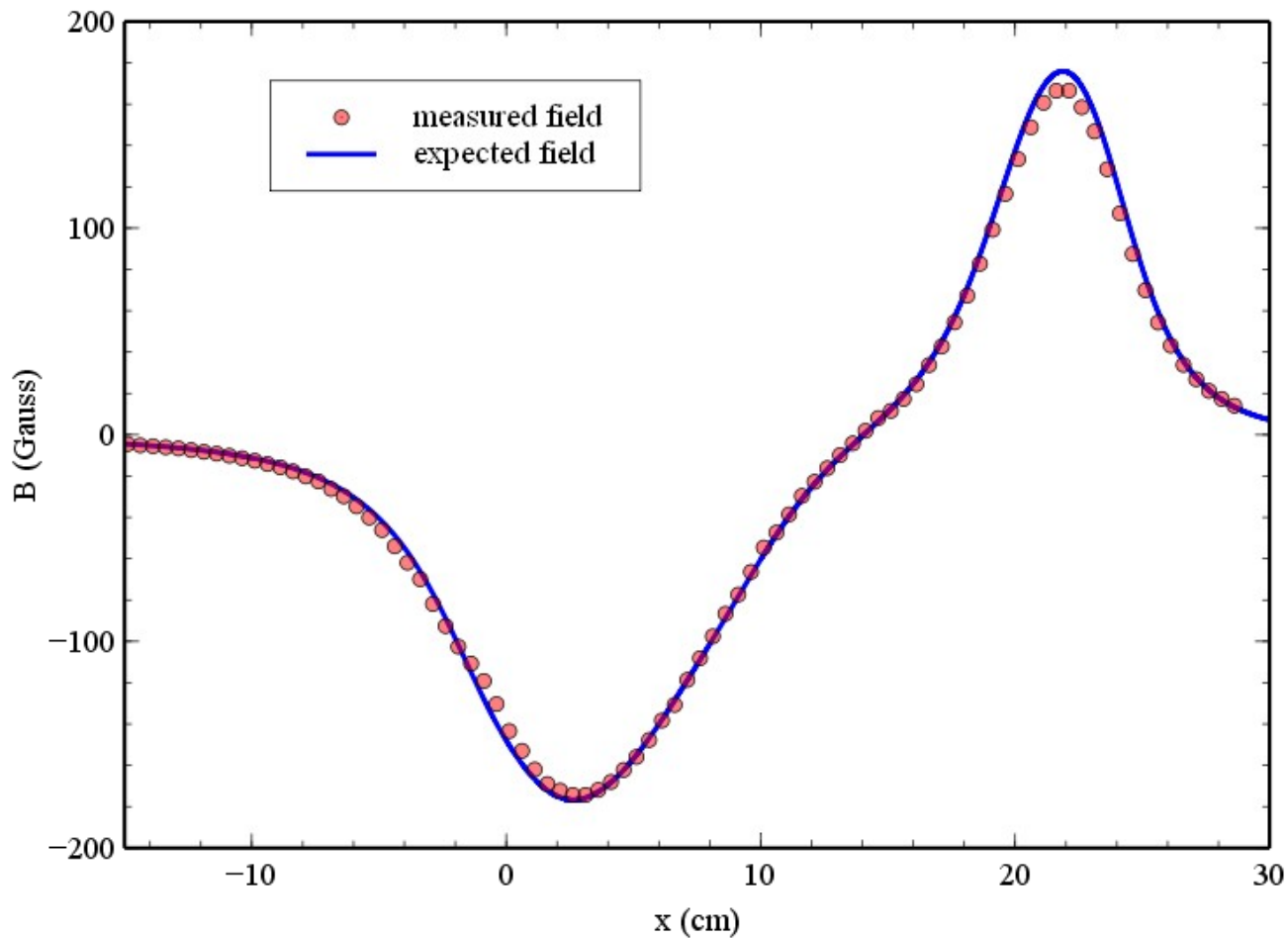
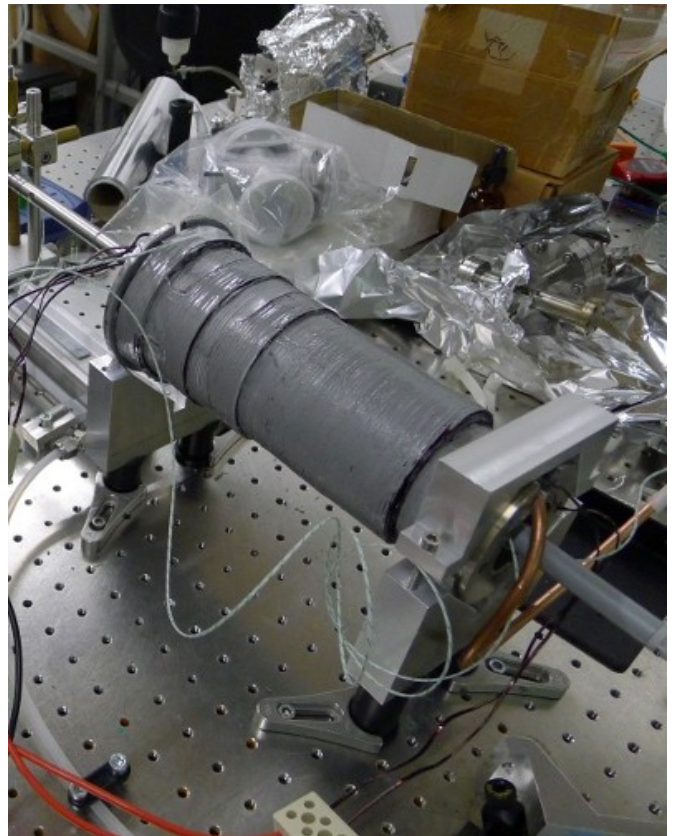


Séminaire du groupe atomes froids

Part 3

First steps toward ytterbium cooling

► Zeeman slower testing :

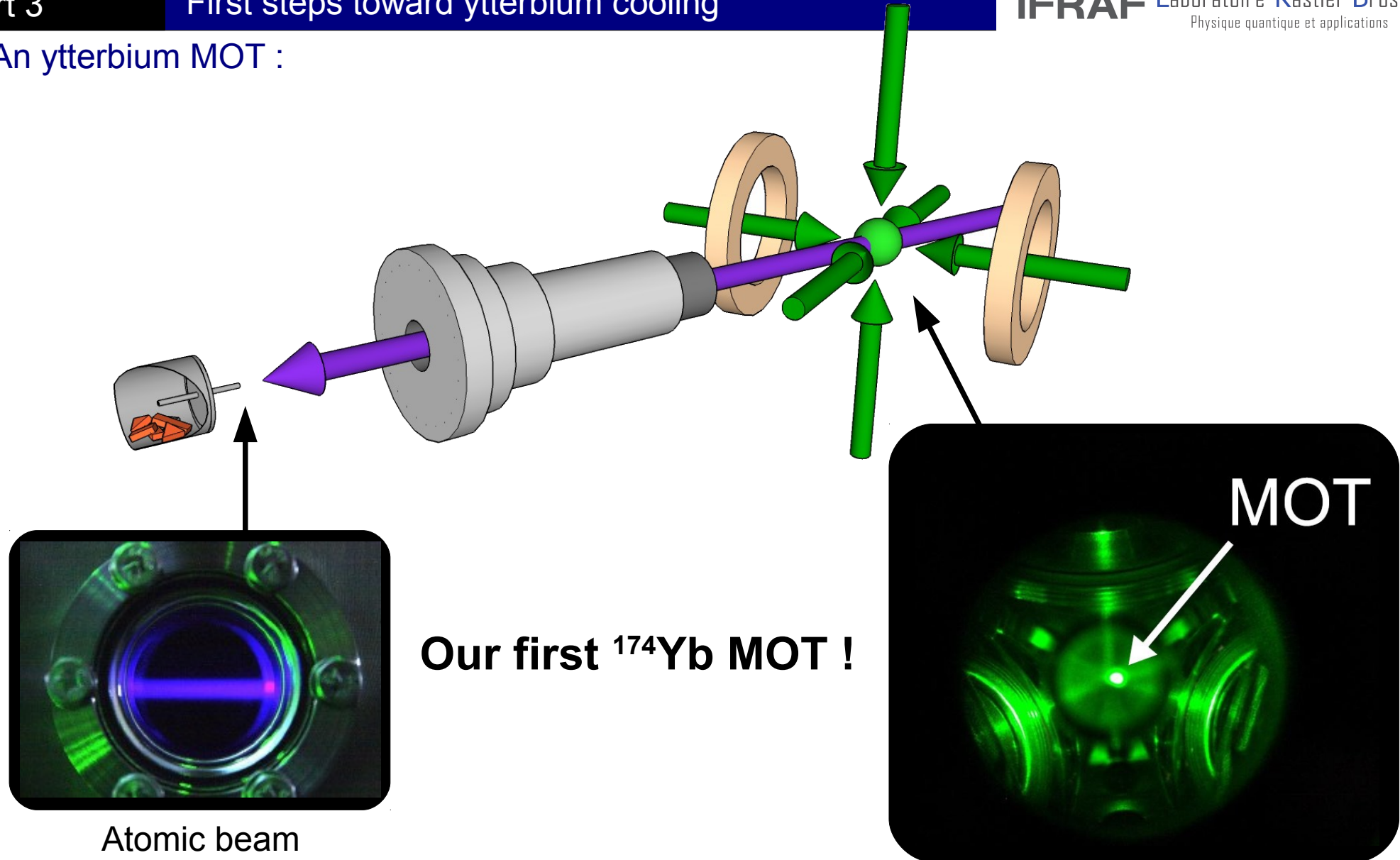


Séminaire du groupe atomes froids

Part 3

First steps toward ytterbium cooling

► An ytterbium MOT :



Séminaire du groupe atomes froids

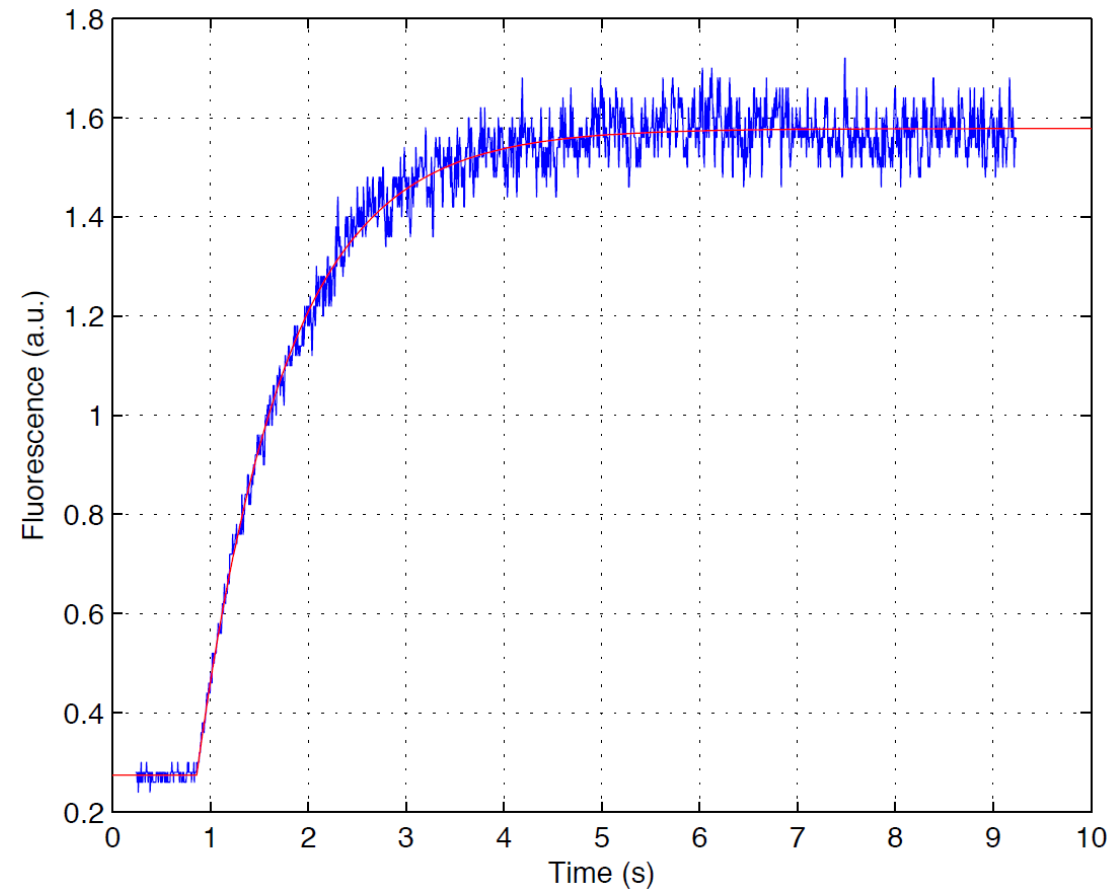
Part 3

First steps toward ytterbium cooling



► An ytterbium MOT :

MOT loading curve (fluorescence)



Simple loading model :

$$\frac{dN}{dt} = -\frac{N}{\tau} + R$$

Lifetime : τ

Stationary number : $N_{stat} = R\tau$

MOT properties

Atom number $\sim 3 \times 10^6$
Life time ~ 1 s (vacuum limited)
Power / beam ~ 20 mW

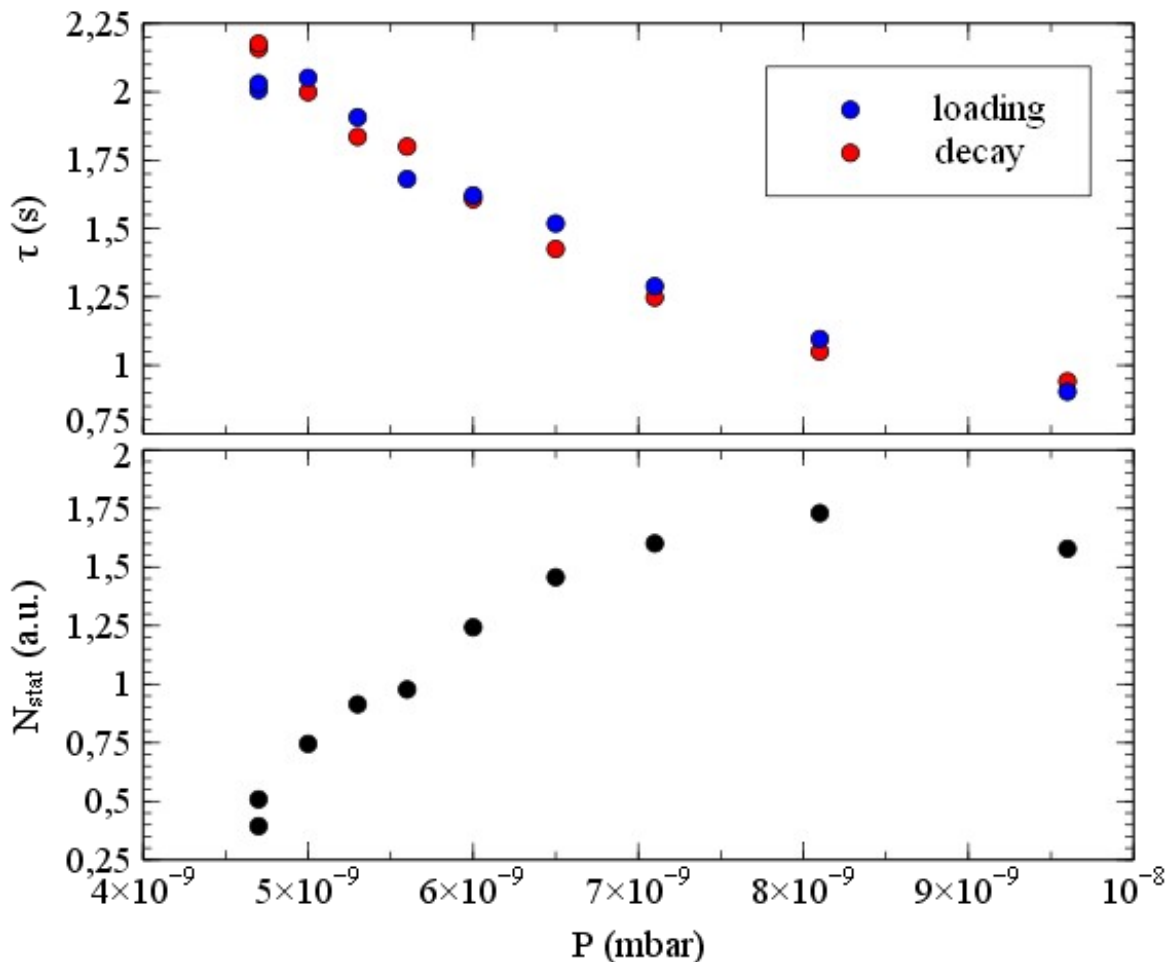
Séminaire du groupe atomes froids

Part 3

First steps toward ytterbium cooling

► An ytterbium MOT :

Lifetime & number of atoms vs pressure



$$\frac{dN}{dt} = -\frac{N}{\tau} + R$$

Lifetime : τ

Stationary number : $N_{stat} = R\tau$

► Issues :

- vacuum improvement : **done !**
now working pressure $\sim 8 \times 10^{-10}$ mbars
new expected lifetime ~ 20 s
 $\longrightarrow N_{stat} \sim 6 \times 10^7$ atoms

- laser mode-hops kill MOT

► To do :

- side-bands on MOT laser ($\uparrow v_{capt}$)
- Zeeman & MOT parameters optimization
- temperature measurement.

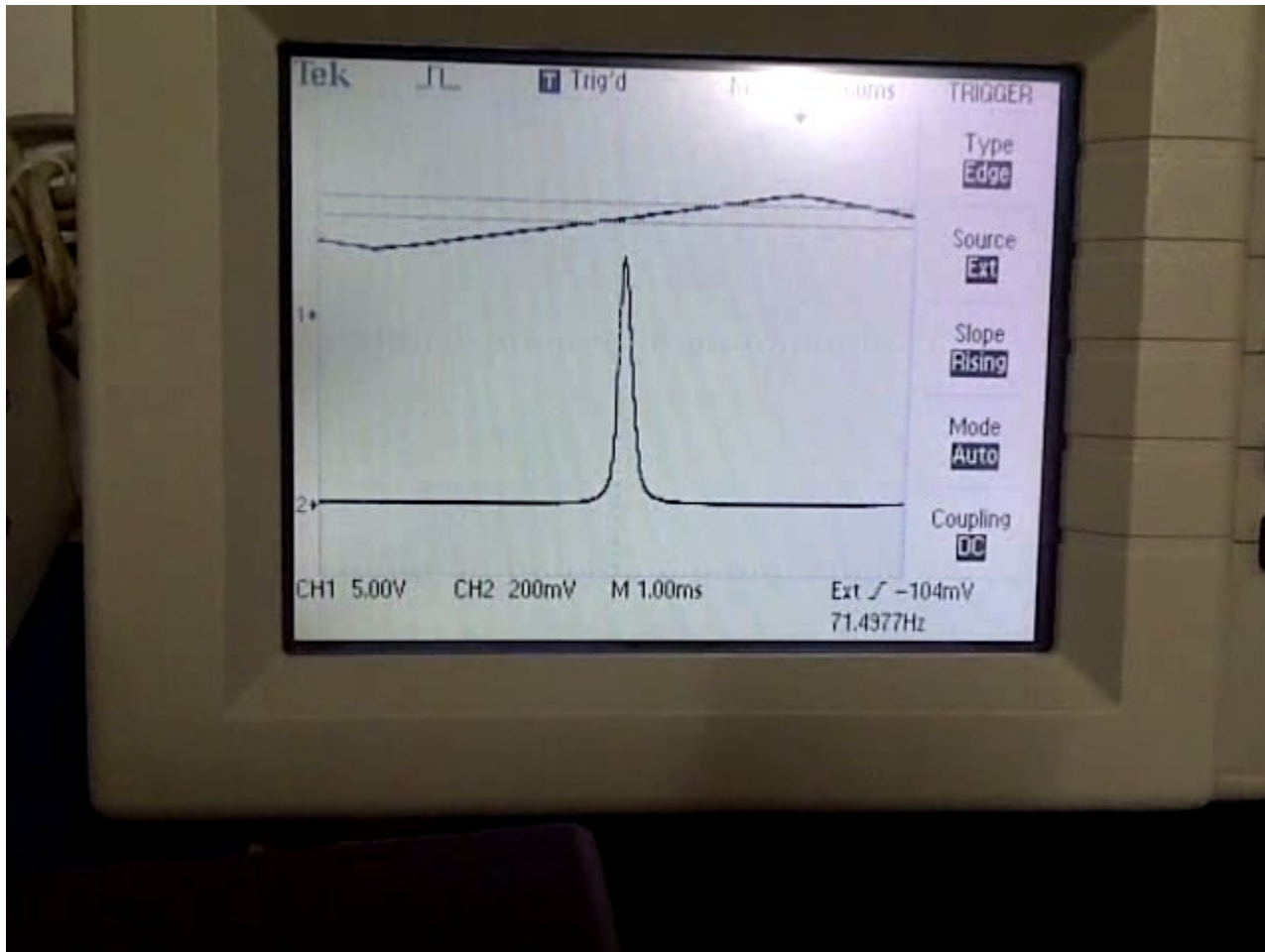
Séminaire du groupe atomes froids

Part 3

First steps toward ytterbium cooling



► A jumpy laser :



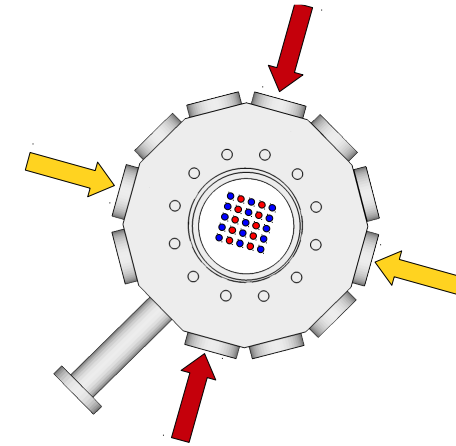
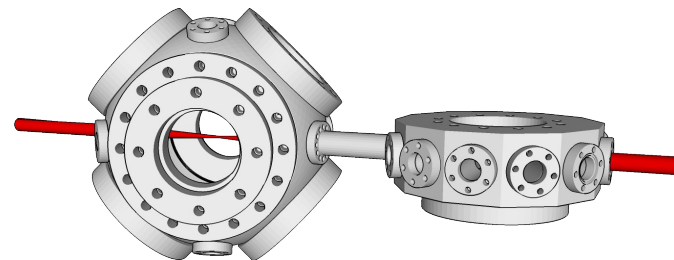
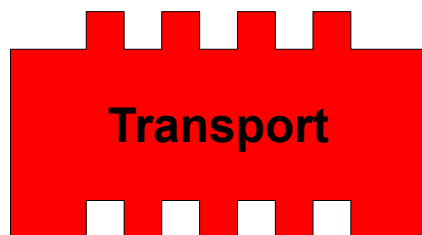
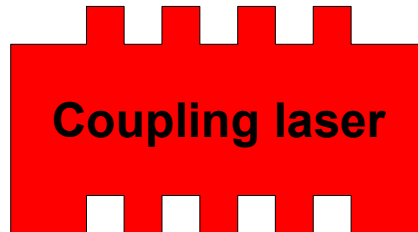
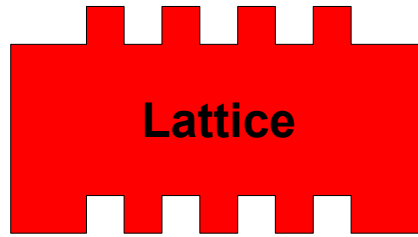
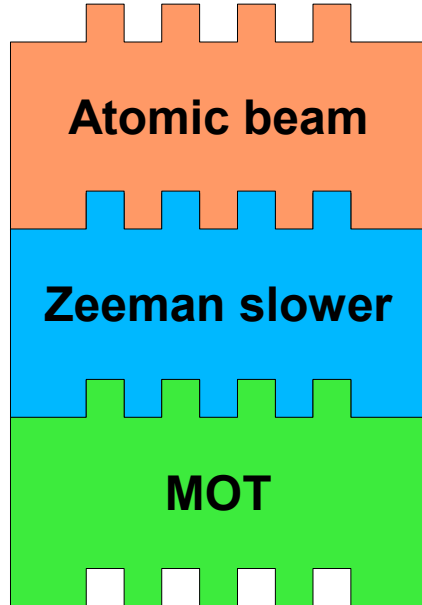
Séminaire du groupe atomes froids

Conclusion

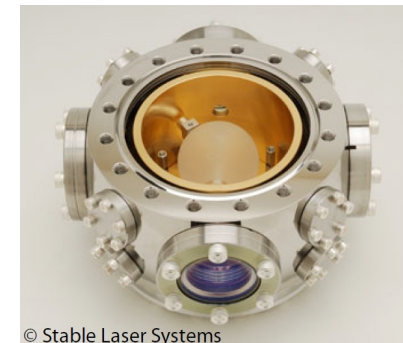
Outlook



► What is next ?



- frequency summing
- locked to ultra-low expansion cavity



ULE cavity
Finesse : 3×10^5

Séminaire du groupe atomes froids

15/06/2012 – Alexandre DAREAU – Équipe Ytterbium



Laboratoire Kastler Brossel
Physique quantique et applications

Thank you for your attention !

Séminaire du groupe atomes froids

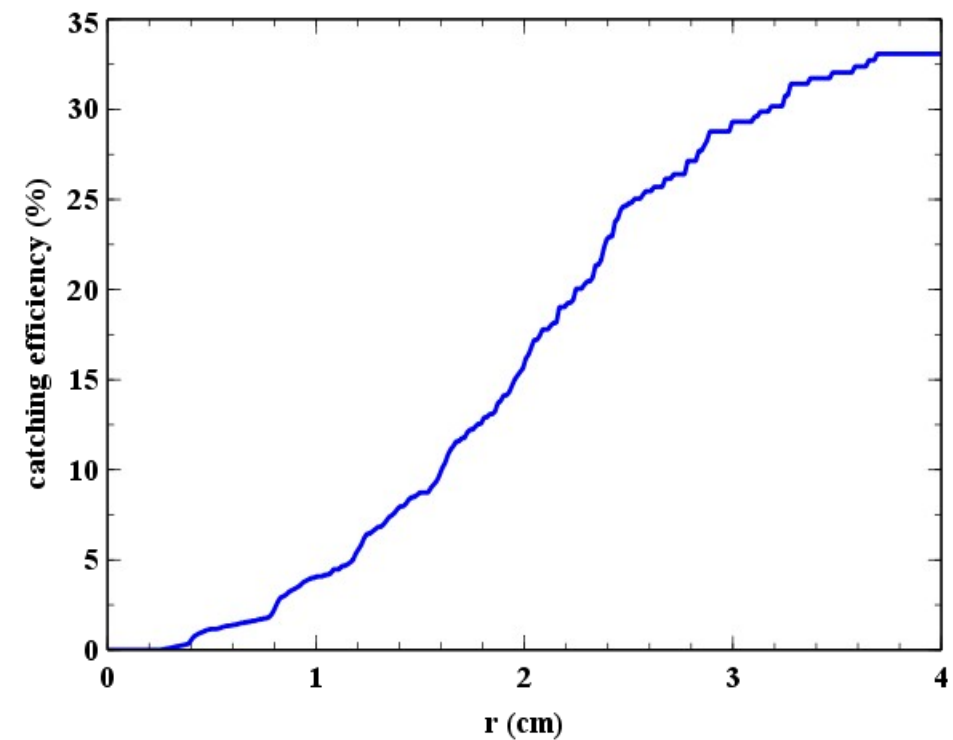
Part 3

First steps toward ytterbium cooling

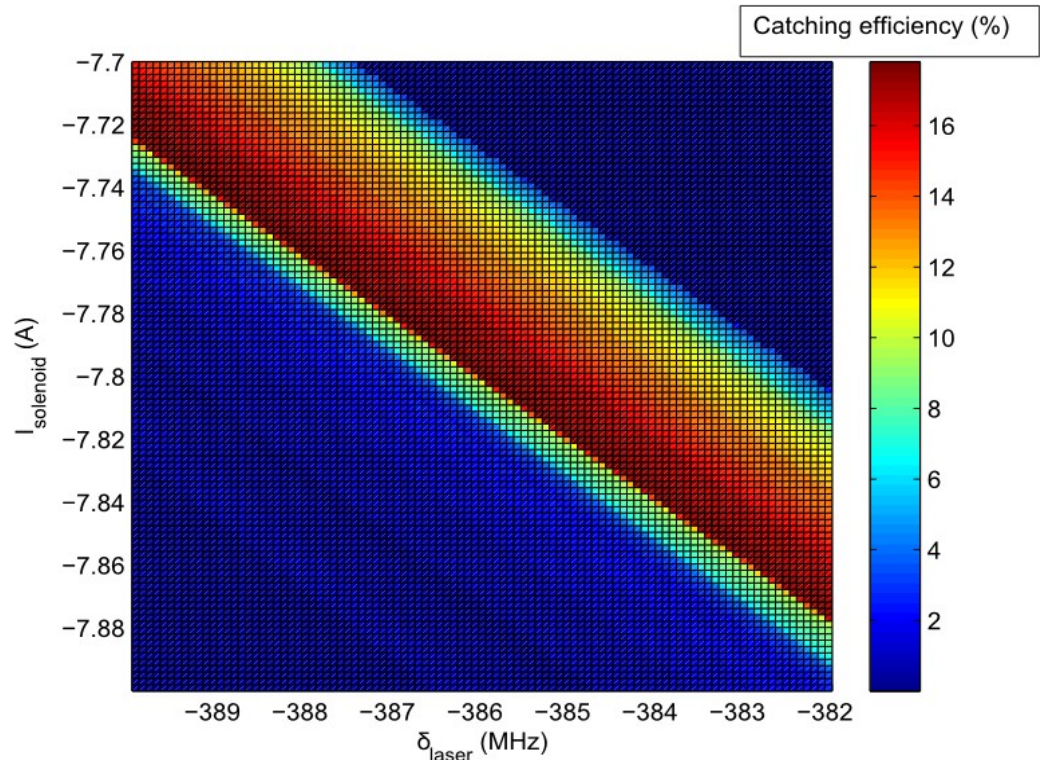


► Zeeman slower : extra plots

Transverse extension



Solenoid current vs laser detuning



Séminaire du groupe atomes froids

Part 3

First steps toward ytterbium cooling

► Zeeman slower testing :

